



Bodleian Libraries

UNIVERSITY OF OXFORD

This book is part of the collection held by the Bodleian Libraries and scanned by Google, Inc. for the Google Books Library Project.

For more information see:

<http://www.bodleian.ox.ac.uk/dbooks>



This work is licensed under a Creative Commons Attribution-NonCommercial-ShareAlike 2.0 UK: England & Wales (CC BY-NC-SA 2.0) licence.





600025126M

Q. 65. B. 17.



E. BIBL. RADCL

~~5~~ / 15

1584 3

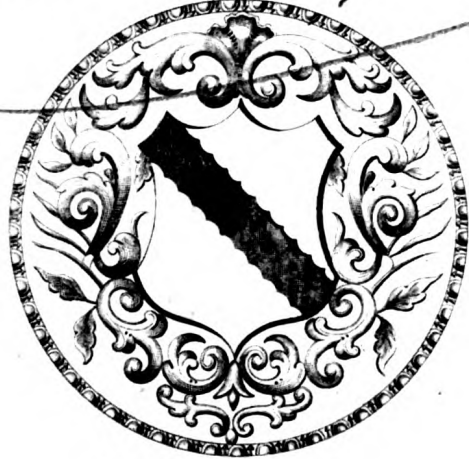
d. $\frac{34.}{2}$





600025126M

G. 65. B. 17.



E. BIBL. RADCL

C ~~5~~ / 15.

1884 2

d. $\frac{34.}{2}$





600025128M

Q. 65. B. 17.

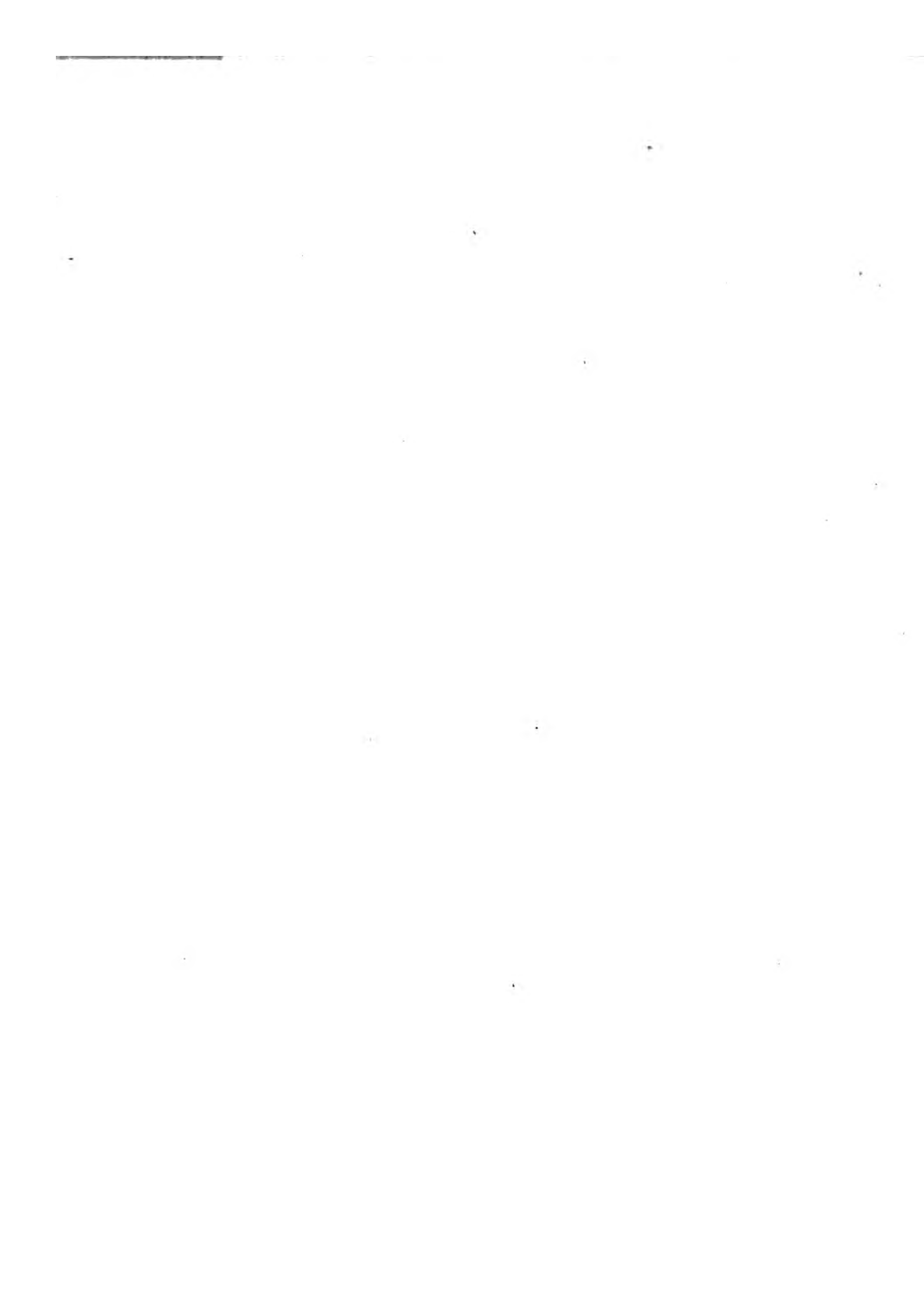


E. BIBL. RADCL

~~5~~ / 5.

1884 =

d. $\frac{34.}{2}$





600025126M

Q.65. B. 17.



E. BIBL. RADCL

~~5-2-15~~

1884 3

d.

XXII KUPFERTAFELN

ZU DER

EINLEITUNG IN DIE KRYSTALLOGR

UND IN DIE

KRYSTALLOGRAPHISCHE KENNTNISS DER WICHTIGEREN SUBS

VON

HERMANN KOPP.

ZWEITE AUFLAGE.

BRAUNSCHWEIG,

DRUCK UND VERLAG VON FRIEDRICH VIEWEG UND SOHN.

1 8 6 2.

Die Herausgabe einer Uebersetzung in französischer und englischer Sprache,
sowie in anderen modernen Sprachen wird vorbehalten.

ÜBERSICHT DER ZEICHNUNGEN.

- Fig. 1 bis 10: Beispiele für das Zeichnen (§. 9 bis 15).
- „ 11: Zeichnung dreier zu einander rechtwinklig stehender Axen (§. 17).
 - „ 12: Zeichnung eines Würfels (§. 18).
 - „ 13 und 14: Zur Erklärung der Combinationen eines Würfels mit einem Regulärroktaëder (§. 35, 64).
 - „ 15: Zeichnung von $\infty O\infty$ (des regulären Systems; §. 61).
 - „ 16 und 17: Zeichnung von ∞O (des regulären Systems; §. 65).
 - „ 18: Zeichnung von $2O2$ (des regulären Systems; §. 69).
 - „ 19: Form der Deltoide an $2O2$ und $3O3$ (d. regul. Systems; §. 70).
 - „ 20: Zeichnung von $2O$ (des regulären Systems; §. 73).
 - „ 21: „ „ $2O\infty$ („ „ „ §. 76).
 - „ 22: „ „ $3O^{3/2}$ („ „ „ §. 79).
 - „ 23: $\infty O\infty$ (des regulären Systems) mit oktaëdrischen und hexaëdrischen Axen (§. 85).
 - „ 24: Entstehung von $\frac{O}{2}$ (des regulären Systems; §. 101).
 - „ 25: „ „ $\frac{2O2}{2}$ („ „ „ §. 105).
 - „ 26: „ „ $\frac{3/2 O}{2}$ („ „ „ §. 108).
 - „ 27: „ „ $\frac{5O^{5/3}}{2}$ („ „ „ §. 111).
 - „ 28: „ „ $\frac{2O\infty}{2}$ („ „ „ §. 114).
 - „ 29: „ „ $\left[\frac{4O2}{2}\right]$ („ „ „ §. 117).
 - „ 30: Form eines Pentagons an $\frac{2O\infty}{2}$ (des regulären Systems; §. 115).
 - „ 31: Zwillung von $\frac{O}{2}$ (des regulären Systems, Fahlerz); Zwillungsfläche parallel einer Fläche O (§. 121).

- Fig. 32: Entstehung der Combination $P \cdot \frac{1}{2}P$ (des Systems, schwefels. Nickeloxydul; §. 139, 147).
- „ 33 a und b: $P \cdot P\infty$ und $P\infty$ (des quadratischen Nickeloxydul; §. 141).
- „ 34: Horizontaler Querschnitt (oder die Lage der quadratischen Pyramiden P , $P\infty$ und $2P\infty$ der Hauptaxe; §. 143).
- „ 35: Horizontaler Querschnitt (oder die Lage der $mP^{3/2}$ (des quadratischen Systems; §. 144).
- „ 36: Entstehung von $\frac{P}{2}$ aus P (des quadratischen quecksilber; §. 160, 161).
- „ 37: Lage der Seitenkanten (und Entstehung) Pyramide dritter Ordnung (§. 166).
- „ 38: Vertikaler Durchschnitt, zur Verdeutlichung einer quadratischen Pyramide mit OP oder $OP\infty$.
- „ 39: Vertikaler Durchschnitt, zur Verdeutlichung zweier quadratischen Pyramiden derselben Ordnung.
- „ 40: Horizontaler Querschnitt (oder die Lage der hexagonalen Pyramiden von verschiedener Ordnung).
- „ 41: Horizontaler Querschnitt (oder die Lage der $mP^{3/2}$ (des hexagonalen Systems; §. 190).
- „ 42: Entstehung von R aus P (des hexagonalen Systems; §. 199).
- „ 43: Entstehung von R^3 aus $3P^{3/2}$ (des hexagonalen Systems; §. 217).
- „ 44: Hilfsfigur zur Erklärung der Axenverhältnisse des Rhomboëders und seinem ersten stumpferen Winkel.
- „ 45: Hauptschnitt durch ein Rhomboëder R (Kanten OP und $OP\infty$).
- „ 46: Derselbe für sich (§. 203).
- „ 47: Hauptschnitte der Rhomboëder $-\frac{1}{2}R$, $-\frac{1}{2}R\infty$ (des hexagonalen Systems; §. 209).

- Fig. 48: Horizontaler Querschnitt durch das Scalenöeder R^3 (Kalkspath) über den oberen oder unter den unteren Seitenecken (§. 218).
 „ 49: Hauptschnitte des Rhomboeders R und des Scalenöeders R^3 (Kalkspath; §. 218, 220).
 „ 50: Lage der Seitenkanten (und Entstehung) einer hexagonalen Pyramide dritter Ordnung (§. 227).
 „ 51: Aggregate hexagonaler Krystallformen (Schnee; §. 237).
 „ 52: Aggregate regulärer Krystallformen (Salmiak; §. 90).
 „ 53: Die Combination $\infty P . \infty \bar{P}2$ (Topas) im basischen Querschnitt (§. 251, 266).
 „ 54: Die Combination $P . \infty \bar{P}2$ (des rhombischen Systems, schwefels. Kali) im Gleichgewicht (§. 260).
 „ 55: Die Combination $\infty P . \infty \bar{P}\infty$ (des rhombischen Systems, Salpeter) im basischen Querschnitt (§. 264).
 „ 56: Die Combination $\infty P . \infty \bar{P}2 . \infty \bar{P}\infty . \infty \bar{P}\infty$ (des rhombischen Systems, weins. Natron-Kali) im basischen Querschnitt (§. 266).
 „ 57: Zur Erklärung der Verzerrungen rhombischer Formen (§. 277).
 „ 58 bis 61: Zur Erläuterung der Zwillinge, Drillinge u. s. w. des rhombischen Systems, wo die Zusammensetzungsfäche parallel einer Fläche von ∞P (§. 282).
 „ 62: $\pm P$ (des monoklinometrischen Systems; §. 304).
 „ 63: $\infty P . 0P$ (des monoklinometrischen Systems; §. 311 ff)
 „ 64: $0P . [\infty P\infty] . \infty P\infty$ (des monoklinometrischen Systems; §. 315).
 „ 65: $'P'$ (des triklinometrischen Systems, Kupfervitriol; §. 362).
 „ 66: $'P' . \infty P' . \infty \bar{P}\infty . \infty \bar{P}\infty$ (desgl.; §. 365).
 „ 67: $P' . \infty P' . \infty \bar{P}\infty . \infty \bar{P}\infty$ (desgl.; §. 365).
 „ 68: $P' . \infty P' . \infty \bar{P}\infty . \infty \bar{P}\infty . 0P' . \infty \bar{P}'\infty . 2\bar{P}'\infty . 2\bar{P}'2 . 'P'\infty . 2'P'\infty$ (desgl.; §. 365).
 „ 69: Anlegegoniometer (§. 22).
 „ 70: Zur Theorie des Reflexionsgoniometers (§. 23).
 „ 71: Durchschnitt „ „ „ (§. 24).
 „ 72: Ansicht „ „ „ (§. 24).

(Reguläres System.)

- „ 73: O (Alaun, Rothkupfererz, Magneteisen; §. 60).
 „ 74: $O . \infty O\infty$ (Zinnchlorid-Chlorammonium, Kobaltkies; §. 63).
 „ 75: $O . \infty O\infty$ im Gleichgewicht (Salpeters. Bleioxyd, Bleiglanz; §. 63).
 „ 76: $\infty O\infty . O$ (Chlornatrium, Bleiglanz; §. 63).
 „ 77: $\infty O\infty$ (Chlornatrium, Flussspath, Bleiglanz; §. 62).
 „ 78: $O . \infty O$ (Alaun, Rothkupfererz; §. 67).
 „ 79: $\infty O . O$ (Magneteisen; §. 67).

- Fig. 80: ∞O (Phosphor, Granat; §. 66).
 „ 81: $\infty O . \infty O\infty$ (Granat; §. 67).
 „ 82: $\infty O\infty . \infty O$ (Alaun, Chlorkalium; §. 67).
 „ 83: $O . \infty O\infty . \infty O$ (Alaun, Bleiglanz; §. 67).
 „ 84: $\infty O\infty . O . \infty O$ (Alaun; §. 67).
 „ 85: $\infty O . 2O2$ (Melanit; §. 72).
 „ 86: $2O2$ (Leucit, Analcim; §. 70).
 „ 87: $3O3$ (Gold, Silber; §. 70).
 „ 88: $2O2 . \infty O\infty . \infty O . O$ (§. 71).
 „ 89: $\infty O . O . 2O2$ (§. 72).
 „ 90: $\infty O . O . 3O3$ (§. 72).
 „ 91: $\infty O\infty . 2O2$ (Analcim; §. 71).
 „ 92: $O . \infty O\infty . 2O2$ (Chromalaun, A; §. 71).
 „ 93: $O . \infty O\infty . \infty O . 2O2$ (Alaun; §. 71).
 „ 94: $2O$ (Diamant?; §. 74).
 „ 95: $2O\infty$ (Gold, Kupfer; §. 77).
 „ 96: $\infty O\infty . 3O\infty$ (Flussspath; §. 78).
 „ 97: $O . \infty O\infty . \infty O . 2O2 . 2O\infty$ (Alaun; §. 78).
 „ 98: $3O\frac{3}{2}$ (Diamant?; §. 80).
 „ 99: $O . 3O\frac{3}{2}$ (Alaun?; §. 81).
 „ 100: $\infty O\infty . 2O4$ (Flussspath; §. 81).
 „ 101: ein Stück von $O . \infty O\infty$ (Salpeter; §. 81).
 „ 102: O , verlängert in der Richtung ∞P , Baryt, Magneteisen; §. 84).
 „ 103: O , einer Fläche parallel zerschritten; §. 84).
 „ 104: O , verkürzt in der Richtung ∞P ; §. 86).
 „ 105: Dasselbe, ebenso (Alaun; §. 86).
 „ 106: $O . \infty O\infty$ unvollzählig, ebenso (Alaun; §. 86).
 „ 107: $O . \infty O\infty . \infty O$, desgl., ebenso (Alaun; §. 86).
 „ 108: $O . \infty O . \infty O\infty$, unvollzählig, v (Alaun; §. 86).
 „ 109 und 110: Aggregate von O in parallelener Stellung (§. 93).
 „ 111: Aggregate von $\infty O\infty$ (Chlornatrium; §. 91).
 „ 112: Aggregate von O (Natrium, Pl; §. 91).
 „ 113: Aggregate zu $\infty O\infty$, an der Stelle von O ; §. 91).
 „ 114 und 119: O , parallel einer Fläche in parallelener Stellung (§. 93).
 „ 115 und 120: O , die Hemitropie, in v (Alaun; §. 93).
 „ 116 und 121: $\infty O\infty$, parallel einer Fläche (§. 94).

Uebersicht der Zeichnungen (Reguläres System).

- Fig. 117 und 122: $\infty O\infty$, die Hemitropie, desgleichen (Silber; §. 94).
 „ 118: $2O\infty$, parallel einer Fläche O durchschnitten (§. 95).
 „ 123: $2O\infty$, die Hemitropie (Kupfer; §. 95).
 „ 124 und 129: ∞O , parallel einer Fläche O durchschnitten, in verschiedener Stellung (§. 98).
 „ 125 und 130: ∞O , die Hemitropie, desgleichen (Zinkblende; §. 98).
 „ 126 bis 128 und 131 bis 133: Durchkreuzungszwillinge von $\infty O\infty$, in verschiedener Stellung (Salmiak, Bleiglanz; §. 99).
 „ 134: $+\frac{O}{2}$ (Chlors. Natron, Fahlerz; §. 102).
 „ 135: $-\frac{O}{2}$ (§. 102).
 „ 136: $+\frac{O}{2} \cdot -\frac{O}{2}$ (Schwefelantimon - Schwefelnatrium, Boracit; §. 103).
 „ 137: $+\frac{O}{2} \cdot \infty O\infty$ (Boracit; §. 103).
 „ 138: $\infty O\infty \cdot +\frac{O}{2}$ (Boracit, Würfelerz; §. 103).
 „ 139: $+\frac{O}{2} \cdot \infty O$ (Essigs. Uranoxyd-Natron, Fahlerz; §. 103).
 „ 140: $+\frac{O}{2} \cdot \infty O \cdot \infty O\infty$ (Boracit; §. 103).
 „ 141: $\infty O \cdot \infty O\infty \cdot +\frac{O}{2}$ (Boracit; §. 103).
 „ 142: $\infty O\infty \cdot \infty O \cdot +\frac{O}{2} \cdot -\frac{O}{2}$ (Boracit; §. 103).
 „ 143: $+\frac{O}{2} \cdot -\frac{O}{2} \cdot \infty O\infty \cdot \infty O$ (Boracit; §. 103).
 „ 144: $+\frac{2O2}{2}$ (Fahlerz; §. 106).
 „ 145: $-\frac{2O2}{2}$ (§. 106).
 „ 146: $+\frac{2O2}{2} \cdot +\frac{O}{2}$ (Fahlerz; §. 107).
 „ 147: $+\frac{2O2}{2} \cdot +\frac{O}{2} \cdot \infty O$ (Fahlerz; §. 107).
 „ 148: $+\frac{2O2}{2} \cdot +\frac{O}{2} \cdot \infty O \cdot -\frac{2O2}{2}$ (Fahlerz; §. 107).
 „ 149: $+\frac{3/2 O}{2}$ (§. 109).
 „ 150: $-\frac{3/2 O}{2}$ (§. 109).

- Fig. 151: $+\frac{2O2}{2} \cdot \infty O \cdot +\frac{3/2 O}{2}$ (Fahlerz; §. 110).
 „ 152: $+\frac{5O^{5/3}}{2}$ (§. 111, 112).
 „ 153: $-\frac{5O^{5/3}}{2}$ (§. 111, 112).
 „ 154: $\infty O\infty \cdot \infty O \cdot +\frac{O}{2} \cdot -\frac{O}{2} \cdot +\frac{5O^{5/3}}{2}$ (x)
 „ 155: $+\frac{2O\infty}{2}$ (Eisenkies; §. 114, 115).
 „ 156: $-\frac{2O\infty}{2}$ (§. 114, 115).
 „ 157: $\infty O\infty \cdot +\frac{2O\infty}{2}$ (Eisenkies, Kobaltglanz)
 „ 158: $\infty O\infty \cdot +\frac{2O\infty}{2} \cdot O$ (Eisenkies; §. 116).
 „ 159: $O \cdot \infty O\infty \cdot +\frac{2O\infty}{2}$ (s) (Salpeters. Bleioxyd)
 „ 160: $O \cdot +\frac{2O\infty}{2}$ (Kobaltglanz; §. 116).
 „ 161: $O \cdot +\frac{2O\infty}{2}$ im Gleichgewicht (Kobaltglanz)
 „ 162: $+\frac{2O\infty}{2} \cdot O$ (Eisenkies; §. 116).
 „ 163: $+\frac{2O\infty}{2} \cdot +\frac{3/2 O\infty}{2}$ (Eisenkies; §. 116).
 „ 164: $+\left[\frac{4O2}{2}\right]$ (Eisenkies; §. 117, 118).
 „ 165: $+\left[\frac{3O^{3/2}}{2}\right]$ (Eisenkies; §. 118).
 „ 166: $-\left[\frac{3O^{3/2}}{2}\right]$ (§. 118).
 „ 167: $+\left[\frac{3O^{3/2}}{2}\right] \cdot \infty O\infty$ (Eisenkies; §. 119).
 „ 168: $+\left[\frac{4O2}{2}\right] \cdot +\frac{2O\infty}{2}$ (Eisenkies; §. 119).
 „ 169: $+\frac{2O\infty}{2} \cdot +\left[\frac{4O2}{2}\right]$ (x) (Eisenkies; §. 119).
 „ 170: $+\frac{2O\infty}{2} \cdot 2O2$ (y) (Eisenkies; §. 119).
 „ 171: $+\frac{2O\infty}{2} \cdot +\left[\frac{3O^{3/2}}{2}\right]$ (z) (Eisenkies; §. 119).
 „ 172: $\pm\frac{O}{2}$ als Durchkreuzungszwilling (Diamant)

Fig. 173: $\pm \frac{2O\infty}{2}$ als Durchkreuzungszwilling (Eisenkies; §. 121).

(Quadratisches System.)

- „ 174: $\infty P . \infty P \infty . 0P$ (Essigs. Kupferoxyd-Kalk; §. 153).
 „ 175: $P . \infty P$ (Essigs. Uranoxyd-Kali; §. 149).
 „ 176: $P . \infty P \infty$ (Honigstein; §. 150).
 „ 177: $P . \infty P \infty$ im Gleichgewicht (Kupferchlorid-Chlorkalium; §. 150).
 „ 178: Dasselbe verzerrt (desgleichen; §. 158).
 „ 179: $P . \frac{1}{3}P . 2P \infty$ (Anatas; §. 147).
 „ 180: $P . P \infty$ (Zinnstein; §. 147).
 „ 181: $P . P \infty . \infty P . \infty P \infty$ (desgleichen; §. 169).
 „ 182: Diese Combination, Hemitropie, Zwillingsfläche parallel $P \infty$ (§. 169).
 „ 183: Desgleichen (§. 169).
 „ 184: $P . \infty P . \infty P^{3/2}$ (Zinnstein; §. 155).
 „ 185: $P . 3P^{3/2} . \infty P$ (Zinnstein; §. 154).
 „ 186: $P . 0P$ (Schwefels. Nickeloxydul; §. 148).
 „ 187: $P . \frac{1}{2}P . 0P$ (desgleichen; §. 156).
 „ 188: $P . \frac{1}{2}P . 0P . P \infty$ (desgleichen; §. 156).
 „ 189: $P . \frac{1}{2}P . \frac{1}{3}P . 0P . P \infty$ (desgleichen; §. 156).
 „ 190: $P . \frac{1}{2}P . \frac{1}{3}P . 0P . P \infty . \infty P \infty$ (desgleichen; §. 156).
 „ 191: $\infty P \infty . P \infty . 0P . P . \frac{1}{2}P$ (desgleichen; §. 156).
 „ 192: $\infty P \infty . P$ (Apophyllit; §. 150).
 „ 193: $\infty P \infty . 0P . P$ (desgleichen; §. 152).
 „ 194: $P . \infty P . \infty P \infty$ (Zirkon; §. 153).
 „ 195: $P . \infty P \infty . 3P^3$ (Zirkon; §. 154).
 „ 196: $+\frac{P}{2} . -\frac{P}{2} . 0P . P \infty . 2P \infty$ (Kupferkies; §. 162).
 „ 197: $\infty P . \infty P \infty . 0P . \frac{P}{2}$ (Essigs. Kupferoxyd-Kalk; §. 163).
 „ 198: $P . 2P \infty . \frac{1}{r} \frac{4P^2}{2}$ (Scheelit; §. 167).
 „ 199 bis 202: Combination von $P, P \infty, 2P \infty$ in verschiedenen Arten von Hemiëdrie, mit $\infty P \infty$ und $0P$ (Cyanquecksilber; §. 164).
 „ 203 und 204: P , in eigenthümlicher Art hemiëdrisch, combinirt mit $0P$ und $P \infty$ (Parasulfat-Ammon; §. 165).

(Hexagonales System.)

- „ 205: $+R . -R$ zu P vereinigt mit ∞P (Quarz; §. 193, 208).
 „ 206: Dasselbe, verzerrt (desgleichen; §. 197).
 „ 207: $+R . -R . \infty R$ (desgleichen; §. 198, 208).

- Fig. 208: $+R . -R . \infty R . 2P^2 (x)$ (desgl.)
 „ 209: $+R . -R . \infty R$ mit $2P^2 (x)$ ungleich; §. 229, 230).
 „ 210: $+R . +3R . -R . \infty R$ mit $2P^2$ ungleich; §. 208, 229, 230).
 „ 211: $P . 0P$ (Apatit; §. 192).
 „ 212: $P . \infty P . 0P$ (desgleichen; §. 194).
 „ 213: $\infty P . 0P . 2P^2$ (desgleichen; §. 194).
 „ 214: $P . 0P . \infty P . \infty P^2$ (desgleichen; §. 194).
 „ 215: $P . 2P . 0P . P^2 . 2P^2 . \infty P . \infty P^2$ (desgleichen; §. 228).
 „ 217: $P . 0P . 2P . \infty P . 2P^2 . 3P^{3/2} (x)$
 „ 218: $+R . -R$ im Gleichgewicht (V. und Chlornatrium; §. 198, 208).
 „ 219: $+R . -R$ (desgl.; §. 198, 208).
 „ 220: $+R . -R . \infty P^2$ (desgl.; §. 198).
 „ 221: $+R . +\frac{1}{2}R (w) . -R$ (desgl.; §. 198).
 „ 222: $+R . 0R$ (Cyaneisenbaryumkali).
 „ 223: $+R . -2R . 0R$ (Cyaneisenammon).
 „ 224: $+16?R . -\frac{1}{2}R$ (Kalkspath; §. 201).
 „ 225: $-R$ (desgleichen; §. 201).
 „ 226: $+4R . +R$ (desgleichen; §. 201).
 „ 227: $-\frac{1}{2}R . -2R$ (desgleichen; §. 201).
 „ 228: $-\frac{1}{2}R . +R$ (desgleichen; §. 201).
 „ 229: $-2R . +R$ (desgleichen; §. 215).
 „ 230: $-2R . \infty P^2$ (Diopas; §. 215).
 „ 231: $+16?R . -\frac{1}{2}R$ (Kalkspath; §. 201).
 „ 232: $-\frac{1}{2}R . \infty R$ (desgleichen; §. 215).
 „ 233: $+R^3$ (desgleichen; §. 217—220).
 „ 234: $+R^3 . \infty P^2$ (desgleichen; §. 220).
 „ 235: $+R^3 . +\frac{1}{4}R^3 . \infty R$ (desgleichen; §. 220).
 „ 236: $+R^3 . +R$ (desgleichen; §. 223).
 „ 237: $+R^3 . +4R$ (desgleichen; §. 223).
 „ 238: $+R^3 . -2R . +R . \infty R$ (desgl.; §. 223).
 „ 239: $+R . +R^3 . +R^5 . +4R . \infty R$ (desgl.; §. 223).
 „ 240: $+R^3 . -2R^2 . +R . -2R$ (desgl.; §. 223).
 „ 241: $+R^3$, Hemitropie, Zusammengesetzt (desgleichen; §. 232).
 „ 242: $\infty R . 0R$, Hemitropie, Zusammengesetzt (desgleichen; §. 233).

Uebersicht der Zeichnungen (Rhombisches und Monoklinometrisches System).

- Fig. 243: $\infty R \cdot 0R$, Hemitropie, Zusammensetzungsfläche parallel $-\frac{1}{2}R$ (desgleichen; §. 233).
 „ 244: $\infty R \cdot -\frac{1}{2}R$, Hemitropie, Zusammensetzungsfläche parallel $0R$ (desgleichen; §. 232).
 „ 245: $+R \cdot \infty P2 \cdot \frac{\infty R}{2} \cdot (-\frac{1}{2}R) \cdot [-2R]$ (Turmalin; §. 231).
 „ 246: $+R \cdot +\frac{1}{4}R \cdot \frac{4}{3}P2$ (Eisenglanz; §. 216).
 „ 247: $\infty P2 \cdot 0R \cdot +R \cdot \frac{4}{3}P2$ (Corund; §. 216).
 „ 248: $+R \cdot 0R$ (Eisenglanz; §. 213).
 „ 249: $+R \cdot -\frac{1}{2}R \cdot -2R$ (Chabasit; §. 210).

(Rhombisches System.)

- „ 250: P (Schwefel; §. 249).
 „ 251: $P \cdot \frac{1}{3}P$ (desgleichen; §. 254).
 „ 252: $P \cdot 0P \cdot \frac{1}{3}P \cdot \check{P}\infty$ (desgleichen; §. 256, 261).
 „ 253: $\infty P \cdot P$ (Schwefels. Zinkoxyd; §. 259).
 „ 254: $P \cdot \check{P}\infty \cdot \infty P \cdot \infty \check{P}\infty$ (desgleichen; §. 259, 261).
 „ 255: $\infty P \cdot \frac{P}{2}$ (Schwefels. Magnesia; §. 279 a).
 „ 256: $+\frac{P}{2} \cdot -\frac{P}{2} \cdot \infty P \cdot \infty \check{P}\infty$ (Schwefels. Zinkoxyd; §. 279 a).
 „ 257: $P \cdot \infty \check{P}2$ (Schwefels. Kali; §. 260).
 „ 258: $\infty \check{P}2 \cdot P$ (desgleichen; §. 260).
 „ 259: $\infty \check{P}2 \cdot \infty \check{P}\infty \cdot P \cdot \check{P}\infty$ (desgleichen; §. 265).
 „ 260: $P \cdot \infty \check{P}2 \cdot \infty \check{P}\infty$ (desgleichen; §. 273).
 „ 261: $\infty \check{P}2 \cdot \check{P}\infty \cdot 3\check{P}\infty \cdot P$ (desgleichen; §. 268, 273).
 „ 262: $P \cdot \check{P}\infty \cdot \infty P \cdot \infty \check{P}2 \cdot \infty \check{P}\infty \cdot \infty \bar{P}\infty$ (desgleichen; §. 261, 273).
 „ 263: $P \cdot 2\check{P}\infty$ im Gleichgewicht (Salpeter; §. 262).
 „ 264: $P \cdot 2\check{P}\infty \cdot \infty P \cdot \infty \bar{P}\infty$ (desgleichen; §. 264).
 „ 265: $\infty P \cdot \infty \check{P}\infty \cdot 2\check{P}\infty \cdot P$ (desgleichen; §. 264, 274).
 „ 266: $\infty P \cdot \infty \check{P}\infty \cdot 2\check{P}\infty \cdot \check{P}\infty \cdot P$ (desgleichen; §. 274).
 „ 267: $\infty P \cdot \infty \check{P}\infty \cdot 2\check{P}\infty$ (desgleichen; §. 274).
 „ 268: $\infty P \cdot \infty \check{P}\infty \cdot 2\check{P}\infty \cdot \check{P}\infty$ (desgleichen; §. 268, 274).
 „ 269: $P \cdot \frac{1}{2}P$ unvollzählig mit ∞P und $\infty \check{P}\infty$ (desgl.; §. 278, 280).
 „ 270: $\infty P \cdot \infty \bar{P}2 \cdot \infty \check{P}\infty \cdot \infty \bar{P}\infty \cdot 0P \cdot P \cdot \check{P}\infty \cdot 2\check{P}\infty$ (Weins. Natron-Kali; §. 266, 267, 272).
 „ 271: $\infty \check{P}2 \cdot \infty \check{P}\infty \cdot \bar{P}\infty \cdot \check{P}\infty \cdot P$ (Schwerspath; §. 263, 275).
 „ 272: $\infty \check{P}2 \cdot \infty \check{P}\infty \cdot \check{P}\infty \cdot \bar{P}\infty$ (desgleichen; §. 275).
 „ 273: $\check{P}\infty \cdot \infty \check{P}\infty \cdot \infty \check{P}2 \cdot \bar{P}\infty$ (desgleichen; §. 275).
 „ 274: $\bar{P}\infty \cdot \infty \check{P}\infty \cdot \infty \check{P}2 \cdot \check{P}\infty$ (desgleichen; §. 275).
 „ 275: $\check{P}\infty \cdot \bar{P}\infty \cdot \infty \check{P}2$ (desgleichen; §. 275).
 „ 276: $P \cdot \infty P \cdot \infty \check{P}\infty$ (Grauspiessglanzerz; §. 264).

Fig. 277: $\infty P \cdot \check{P}\infty$ (§. 268).

- „ 278: $\infty P \cdot \bar{P}\infty$ (Ameisens. Baryt; §. 268).
 „ 279: $P \cdot \infty P \cdot \infty \check{P}2$ (Topas; §. 266).
 „ 280: $P \cdot 0P \cdot \infty P \cdot \infty \check{P}2 \cdot 2\check{P}\infty$ (desgleichen);
 „ 281: $P \cdot \frac{1}{3}P \cdot \infty P \cdot \infty \check{P}\infty$ (wasserfreies schwefel-
 256, 259).
 „ 282: $P \cdot \check{P}\infty \cdot \infty \check{P}\infty \cdot \infty \bar{P}\infty$ (Salpeters. Uran-
 „ 283: $P \cdot 0P \cdot \infty P \cdot \frac{1}{2}\check{P}\infty \cdot \frac{1}{2}\bar{P}\infty$ (Chlorbaryu-
 „ 284: $\infty \check{P}2 \cdot \infty \bar{P}\infty \cdot (P) \cdot [2\check{P}\infty \cdot \check{P}\infty \cdot 0P \cdot \frac{1}{2}P]$
 (§. 280).
 „ 285: $\bar{P}\infty \cdot \check{P}\infty$ im Gleichgewicht mit ∞P (Ci-
 „ 286: $\infty P \cdot \check{P}\infty$ verzerrt (§. 278).
 „ 287: $P \cdot \infty \bar{P}2 \cdot 0P$ (Salpeters. Silberoxyd; §. 287).
 „ 288: $\infty P \cdot \infty \check{P}\infty \cdot \check{P}\infty$ (Arragonit, durchschneidende
 Fläche ∞P ; §. 264, 282).
 „ 289: Dasselbe, Hemitropie (desgleichen; §. 289).
 „ 290: Aggregat solcher Hemitropien (desgleichen; §. 289).
 „ 291: Dieselbe Hemitropie, durch Ausdehnung (desgleichen; §. 282).
 „ 292: $\infty \check{P}2 \cdot \check{P}\infty \cdot P$ (Schwefels. Kali); Hemitropie, durchschneidende
 fläche parallel einer Fläche $\check{P}\infty$ (§. 282).
 „ 293: Drillingskrystall (desgleichen) nach demselben Gesetz (desgleichen);
 $w = \check{P}\infty, m = \infty P, n = \infty \check{P}\infty$; §. 283).
 „ 294: $P \cdot \infty \check{P}\infty \cdot \infty \bar{P}\infty$ (Harmotom); Durchschneidende
 zusammensetzungsfläche parallel einer Fläche ∞P .
 „ 295: $\infty P \cdot \infty \check{P}\infty \cdot 0P$ (Staurolith); Durchschneidende
 zusammensetzungsfläche parallel einer Fläche ∞P .
 (Monoklinometrisches System.)
 „ 296: $+P \cdot -P \cdot \infty P$ (Gyps; §. 317).
 „ 297: $+P \cdot -P \cdot \infty P \cdot [\infty P\infty]$ (desgleichen; §. 317).
 „ 298: $-P \cdot \infty P \cdot [\infty P\infty]$ (desgleichen), durchschneidende
 Fläche $\infty P\infty$ (§. 317).
 „ 299: Dasselbe, Hemitropie (§. 337).
 „ 300: $+P \cdot -P \cdot \infty P \cdot \infty P\infty$ (Ferridcyankalium; §. 337).
 „ 301: Dasselbe, Hemitropie (desgleichen); Zusammensetzungsfläche
 parallel einer Fläche $\infty P\infty$ (§. 337).
 „ 302: $+P \cdot -P \cdot \infty P\infty \cdot [\infty P\infty]$ (Kobaltidcyan; §. 314).
 ten parallel einer Fläche $\infty P\infty$ (§. 314).
 „ 303: Dasselbe, Hemitropie (desgleichen; §. 337).
 „ 304: $\infty P \cdot 0P \cdot +P \cdot +2P\infty$ (Essigs. Kupfer; §. 316, 319, 321).

- Fig. 305: Dasselbe, Hemitropie (desgleichen; §. 339).
 „ 306: $\infty P \cdot 0P \cdot +P$ (Ameisens. Kupferoxyd; §. 316).
 „ 307: $\infty P \cdot [\infty P\infty] \cdot 0P \cdot -P$ (Essigs. Natron; §. 312, 316).
 „ 308: $\infty P \cdot \infty P\infty \cdot 0P$ (Zucker; §. 312, 313).
 „ 309: $\infty P \cdot \infty P\infty \cdot 0P \cdot +P\infty \cdot [P\infty]$ (desgleichen; §. 313, 319, 320).
 „ 310: $\infty P \cdot \infty P\infty \cdot 0P \cdot +P \cdot +2P$ (Borax; §. 316, 323).
 „ 311: $[\infty P\infty] \cdot \infty P\infty \cdot 0P \cdot +P \cdot +2P$ (desgleichen; §. 314, 318).
 (x)
 „ 312a: $\infty P \cdot 0P \cdot +P\infty$ (Eisenvitriol; §. 311, 319).
 b: Dasselbe, mit vorherrschenderem $+P\infty$ (desgleichen; §. 319).
 „ 313a: $\infty P \cdot [\infty P\infty] \cdot 0P \cdot +P\infty$ (desgleichen; §. 312, 319).
 b: Dasselbe, verzerrt (desgleichen; §. 335).
 „ 314a: $\infty P \cdot 0P \cdot -P\infty$ (desgleichen; §. 319).
 b: $\infty P \cdot [\infty P\infty] \cdot 0P \cdot [P\infty] \cdot +P\infty$ (desgleichen; §. 319, 320).
 „ 315a: $\infty P \cdot [\infty P\infty] \cdot 0P \cdot +P\infty \cdot -P\infty \cdot -\frac{1}{3}P\infty$ (desgleichen;
 §. 321).
 b: Dasselbe in anderer Stellung (§. 321).
 „ 316: $+P\infty \cdot 0P \cdot \infty P \cdot [P\infty] \cdot [\infty P\infty] \cdot +[2P2] \cdot -P\infty$ (desglei-
 chen; §. 333).
 „ 317: $\infty P \cdot [\infty P\infty] \cdot 0P \cdot [P\infty] \cdot -P \cdot +[2P2] \cdot +P\infty \cdot -P\infty$ (des-
 gleichen; §. 316, 322, 323).
 „ 318: $\infty P \cdot [\infty P\infty] \cdot 0P \cdot +2P\infty$ (Feldspath), durchschnitten parallel
 einer Fläche $[\infty P\infty]$ (§. 319).
 „ 319: Dasselbe (desgleichen), um eine auf $\infty P\infty$ rechtwinklig stehende
 Linie um 180° gedreht (§. 333).
 „ 320 und 321: Zwillinge, gebildet aus Fragmenten der beiden vor-
 hergehenden Formen (§. 338).
 „ 322: $\infty P \cdot [\infty P\infty] \cdot 0P \cdot [2P\infty] \cdot +P \cdot +P\infty \cdot +\frac{2}{3}P\infty \cdot +2P\infty$
 (Feldspath; §. 321, 322).
 „ 323: $0P \cdot [\infty P\infty] \cdot [2P\infty] \cdot \infty P \cdot +P \cdot +P\infty \cdot +2P\infty$ (desgleichen;
 §. 314, 320, 329).
 „ 324 und 325: Dasselbe ohne $[2P\infty]$; Hemitropie, Zusammensetzungs-
 fläche parallel einer Fläche $[2P\infty]$, in verschiedener Stellung
 (§. 340).
 „ 326: Die beiden Enden dieser Hemitropie an den Ausmündungen
 der Orthodiagonale, in der Richtung dieser Axe betrachtet
 (§. 340).
 „ 327: $\infty P \cdot [\infty P\infty] \cdot \infty P\infty \cdot 0P \cdot -P \cdot +P \cdot +2P$ (Augit; §. 316,
 323).
 „ 328: $\infty P \cdot [\infty P\infty] \cdot \infty P\infty \cdot +P$ (desgleichen; §. 330).
 „ 329: Dasselbe (desgleichen); Hemitropie, Zusammensetzungsfläche
 parallel einer Fläche $\infty P\infty$ (§. 337).

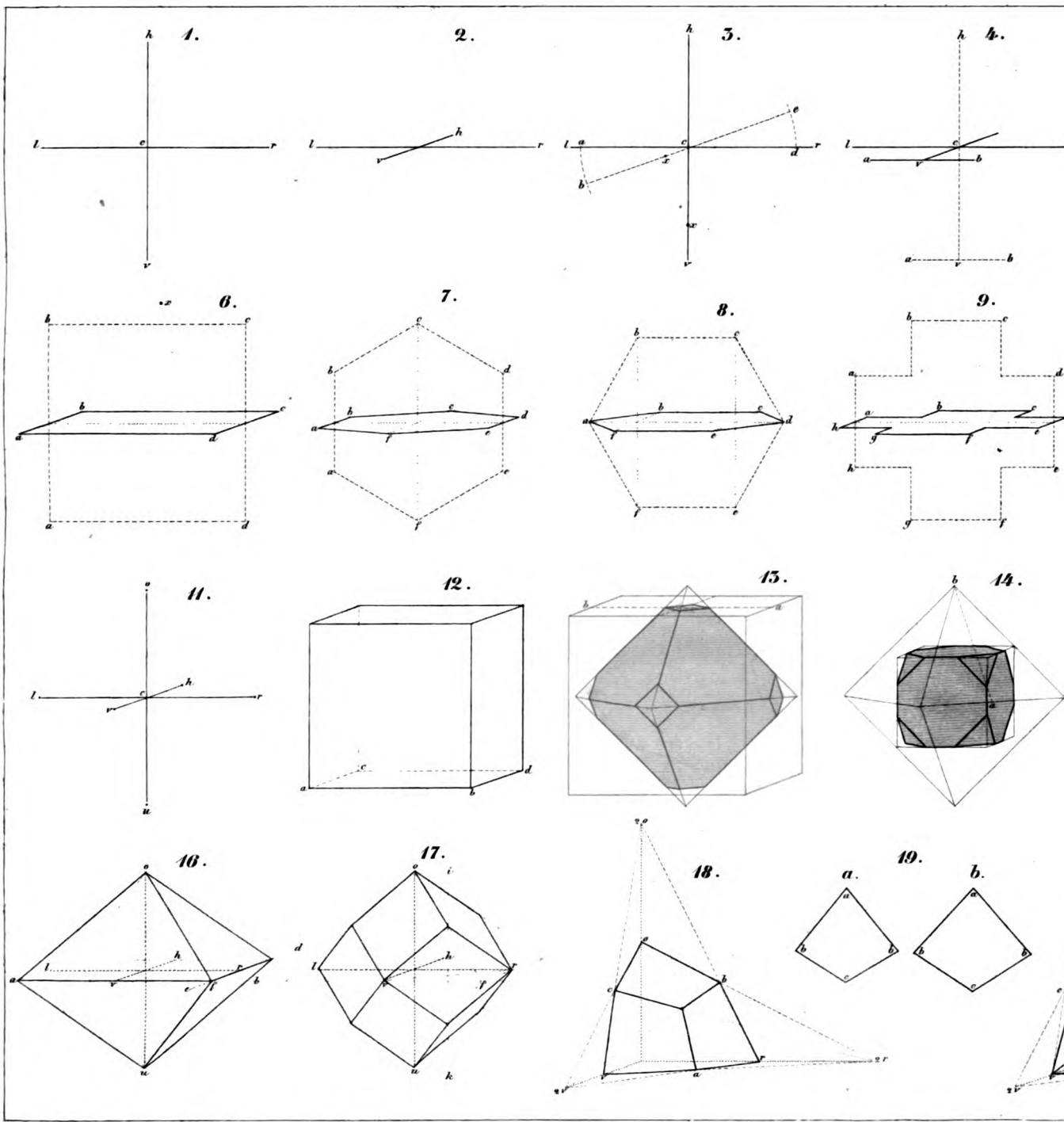
- Fig. 330: $\infty P \cdot [\infty P\infty] \cdot 0P \cdot +P$ (Horn-
 „ 331: $\infty P \cdot [P\infty] \cdot -P\infty$ (Chlors. B.
 „ 332: $\infty P \cdot [\infty P\infty] \cdot +P$ (Soda; §. 3
 „ 333: $\infty P \cdot 0P \cdot +P\infty$ (Trona; §. 3
 „ 334: $\infty P \cdot 0P \cdot \infty P\infty \cdot +2P\infty \cdot -$
 §. 320).
 „ 335: $\infty P \cdot 0P \cdot \infty P\infty \cdot [P\infty] \cdot +P$
 Natron; §. 313, 320, 322).
 „ 336: $\infty P \cdot 0P \cdot +P\infty \cdot -P\infty \cdot [P\infty]$
 „ 337: $\infty P \cdot [\infty P2] \cdot [\infty P\infty] \cdot 0P \cdot [P$
 §. 323).
 „ 338: $\infty P \cdot \infty P3 \cdot 0P \cdot +P\infty$ (§. 32
 „ 339: $\infty P \cdot [\infty P2] \cdot [\infty P\infty] \cdot 0P \cdot [P$
 Nickeloxydul-Kali; §. 321, 323).
 „ 340: Dasselbe ohne $[\infty P2]$ und $[\infty P$
 Verhältniss des Vorherrschens
 „ 341: Die Flächen von Fig. 340 in
 herrschens (§. 334).
 „ 342: $\infty P \cdot \infty P\infty \cdot +P\infty \cdot -P\infty$
 säure; §. 336).
 „ 343: $[P\infty] \cdot 0P \cdot \infty P\infty \cdot +P\infty$ (Ne
 §. 326).
 „ 344: $\infty P \cdot \infty P\infty \cdot 0P \cdot [\infty P\infty] \cdot [P\infty]$
 nesia; §. 326).
 „ 345: $\infty P \cdot \infty P2 \cdot \infty P\infty \cdot [\infty P\infty] \cdot 0$
 phors. Natron-Kali; §. 316, 32
 „ 346: $\infty P \cdot [\infty P\infty] \cdot 0P \cdot -P \cdot -2$
 phors. Natron-Ammoniumoxyd
 „ 347: $\infty P \cdot [\infty P2] \cdot \infty P\infty \cdot 0P \cdot +P$
 „ 348: $0P \cdot \infty P \cdot \infty P\infty \cdot +P \cdot +2P$
 (Triklinometrisch
 „ 349: $\infty P' \cdot 0P \cdot \infty P\infty \cdot \infty P\infty$ (Un
 „ 350: $\infty P' \cdot \infty P\infty \cdot 0P \cdot P' \cdot \infty P\infty$
 einer Fläche $\infty P\infty$ (§. 364).
 „ 351: Dasselbe, Hemitropie (§. 365).
 (Vgl. Fig. 65 bis 68)
- „ 352 bis 358: Uebersicht der holoëd-
 Systems (§. 82).
 „ 359 bis 373: Uebersicht der holoëd-
 schen Systems (§. 138–146).

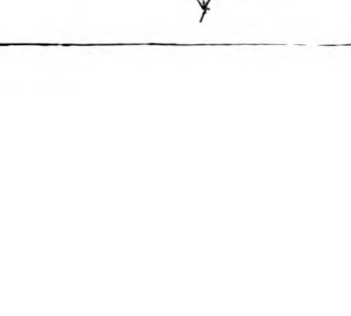
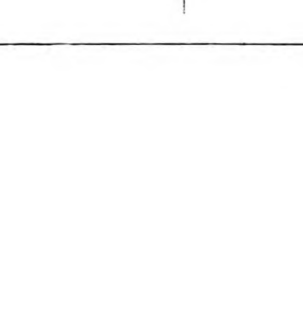
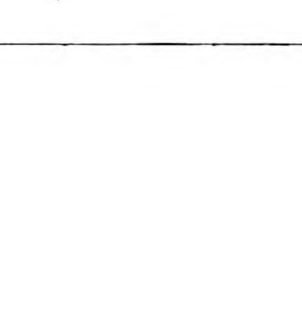
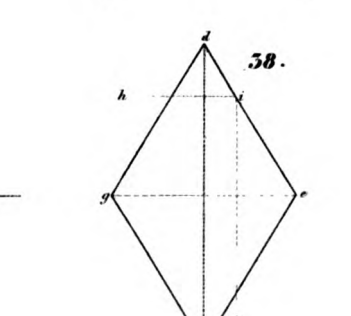
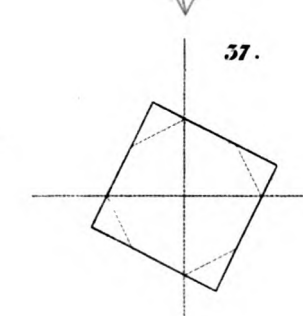
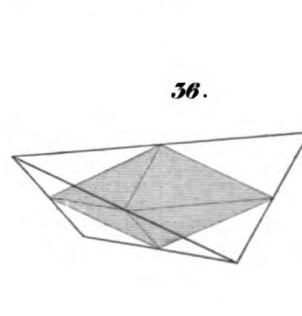
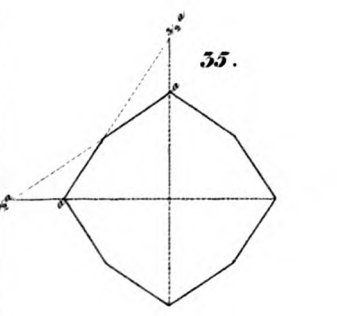
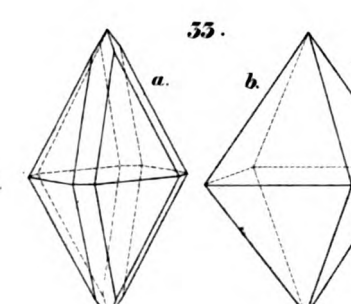
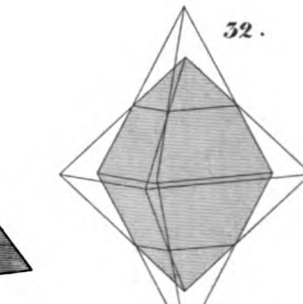
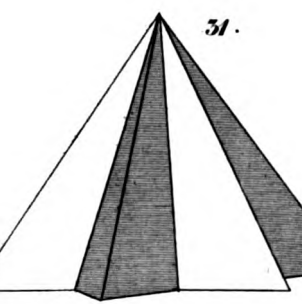
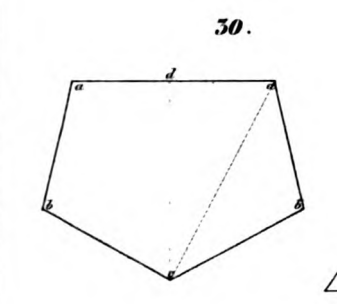
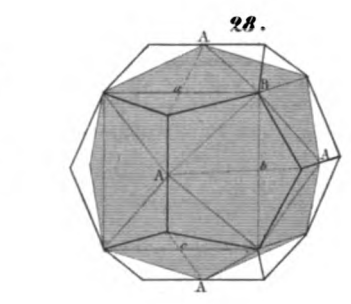
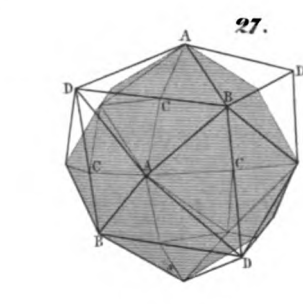
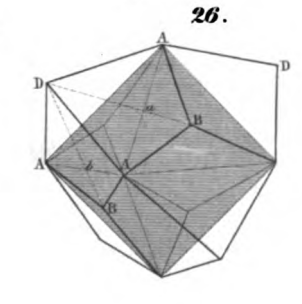
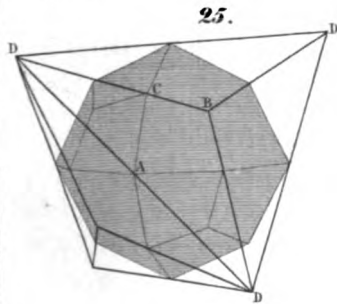
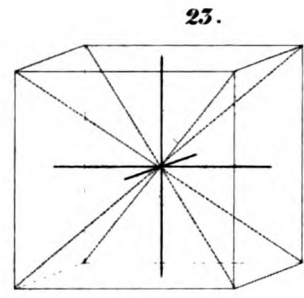
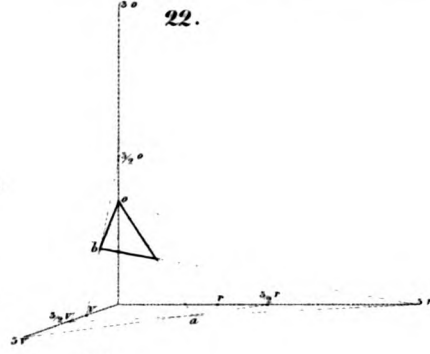
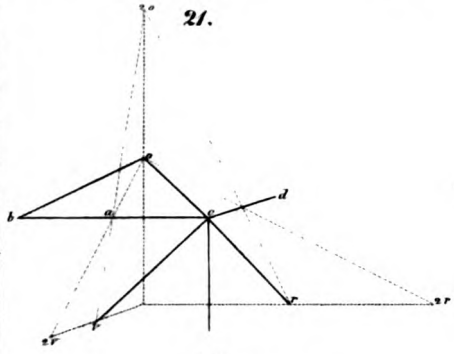
Uebersicht der Zeichnungen.

- Fig. 374 bis 388: Uebersicht der holoëdrischen Formen des hexagonalen Systems (§. 186—191).
- „ 389 bis 398: Uebersicht der rhomboëdrischen und scalenoëdrischen Formen des hexagonalen Systems (§. 200—214 u. §. 217—221).
- „ 399 bis 423: Uebersicht der holoëdrischen Formen des rhombischen Systems (§. 249—253).
-
- „ 424: $2O2$ (regulär) verzerrt durch Verlängerung in Richtung einer hexaëdrischen Axe (Salmiak; §. 88).
- „ 425: $3O3$ (regulär) in eigenthümlicher Ausbildung von nur 8 Flächen (Salmiak; §. 88).
- „ 426: $\infty O\infty . + \frac{2O\infty}{2} . + \frac{O}{2}$ (regulär; chlors. Natron; §. 120 b).
- „ 427: $\infty O\infty . + \frac{2O\infty}{2} . - \frac{O}{2}$ (desgleichen).
- „ 428: $+R . -R . \infty R$ mit $2P2$ (x) und $6P\frac{6}{5}$ (y) unvollzählig (hexagonal; Quarz; §. 230).
- „ 429: Dieselben Flächen, mit andersartigem Auftreten von $6P\frac{6}{5}$ (desgleichen).
- „ 430 und 431: Entstehung der rhombischen Sphenoïde $+\frac{P}{2}$ und $-\frac{P}{2}$ aus einer Pyramide P (§. 279 a).
- „ 432: $\infty P . \infty \check{P}\infty . P$ (rhombisch; saures weins. Kali; §. 279 a).
- „ 433: $\infty P . \infty \check{P}\infty . + \frac{P}{2} . - \frac{P}{2}$ (desgleichen).

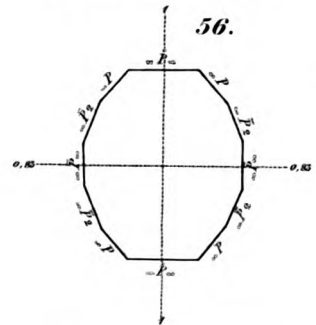
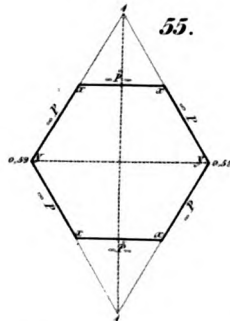
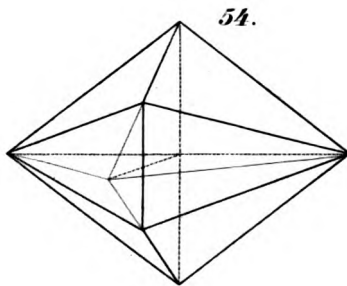
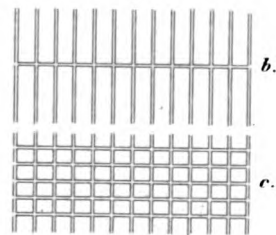
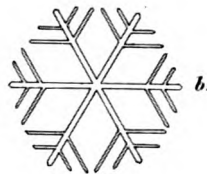
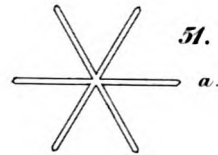
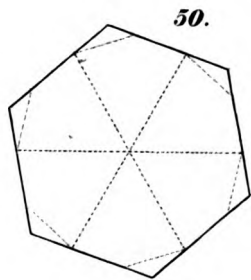
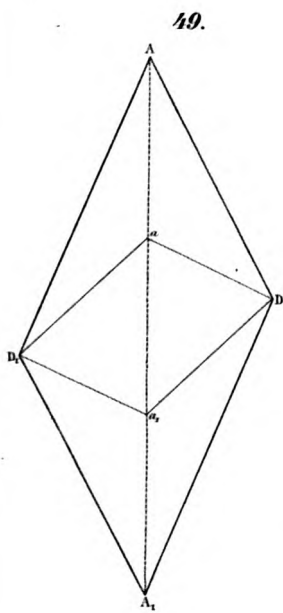
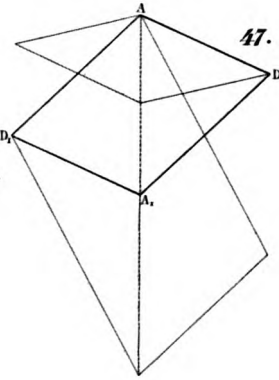
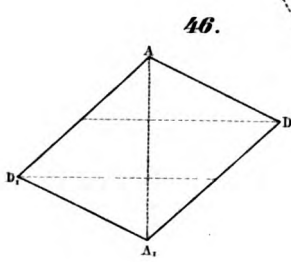
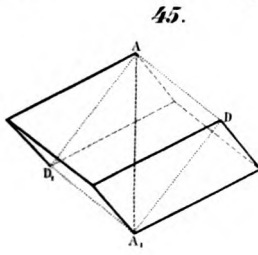
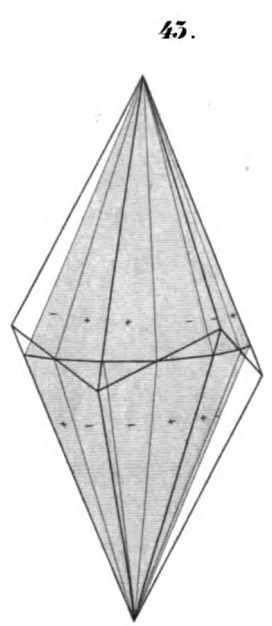
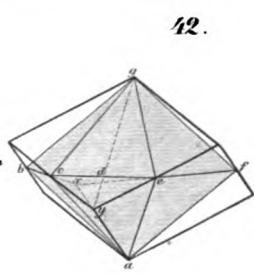
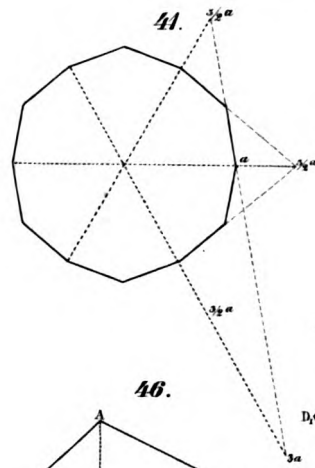
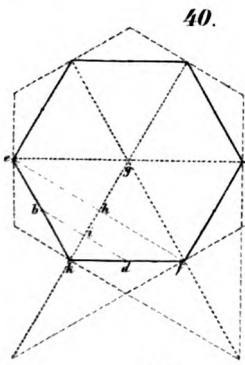
- Fig. 434: $\infty P . \infty \check{P}\infty . - \frac{P}{2} . + \frac{P}{2}$ (desgleichen)
- „ 435: $\infty P . \infty \check{P}\infty . \check{P}\infty . + \frac{P}{2} . - \frac{2\check{P}2}{2}$ (rhombisch; §. 279 a).
- „ 436: $\infty P . \infty \check{P}\infty . \check{P}\infty . - \frac{P}{2} . + \frac{2\check{P}2}{2}$ (desgleichen)
- „ 437: $\infty P . 0P . \check{P}\infty . 2\check{P}\infty . \infty \check{P}\infty . + \frac{P}{2}$ (§. 279 a).
- „ 438: $\infty P . 0P . \check{P}\infty . 2\check{P}\infty . \infty \check{P}\infty . - \frac{P}{2}$ (desgleichen)
- „ 439: $\infty P . \infty \bar{P}2 . \infty \bar{P}\infty . \infty \check{P}\infty . 0P . \check{P}\infty$ (rhombisch; rechtsdrehend-weins. Natron-Art; §. 279 b).
- „ 440: $\infty P . \infty \bar{P}2 . \infty \bar{P}\infty . \infty \check{P}\infty . 0P . \check{P}\infty$ (rhombisch; linksdrehend-weins. Natron-Art; §. 279 b).
- „ 441: $\infty P . \infty \bar{P}2 . \infty \bar{P}\infty . \frac{1}{2}\bar{P}\infty . \check{P}\infty . P$ (§. 279 c).
- „ 442: Dieselbe Combination mit eigenthümlicher Ausbildung von $\frac{1}{2}\bar{P}\infty$ und P (desgleichen)
- „ 443 a u. b: $\infty P . \infty P\infty . + P\infty . - P\infty$ (monoklinometrisch; optisch-rechtsdrehend)
- „ 444 a u. b: $\infty P . \infty P\infty . + P\infty . - P\infty$ (monoklinometrisch; optisch-links-drehend)



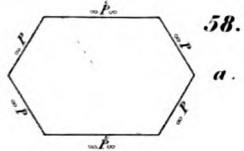




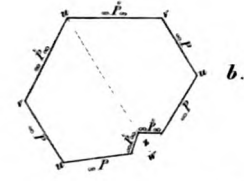




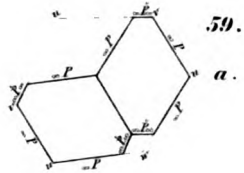




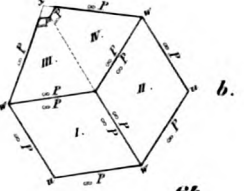
58.



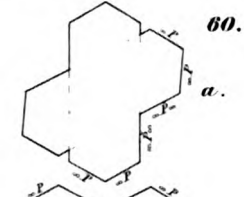
b.



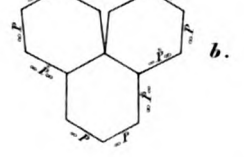
59.



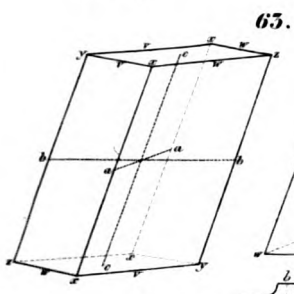
b.



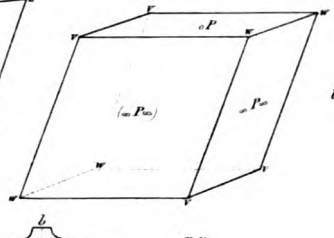
60.



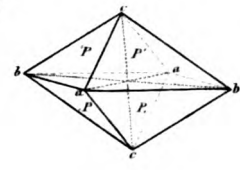
b.



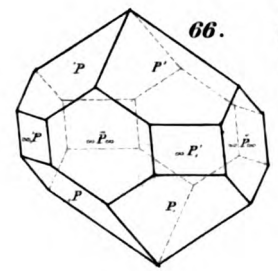
63.



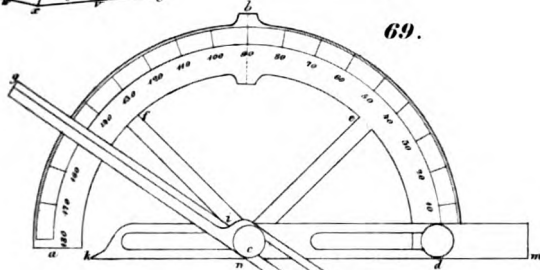
64.



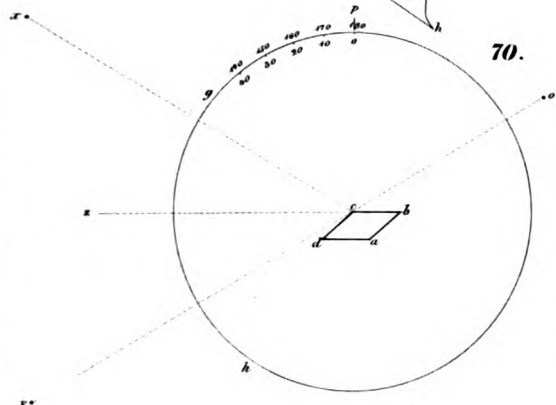
65.



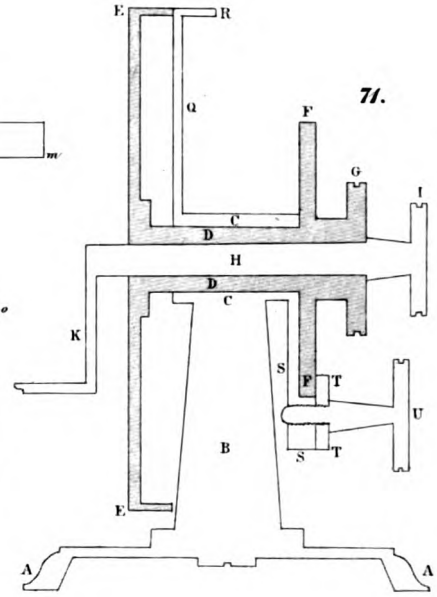
66.



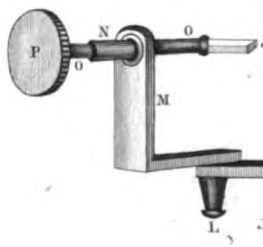
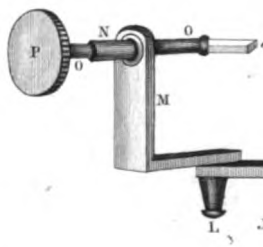
69.



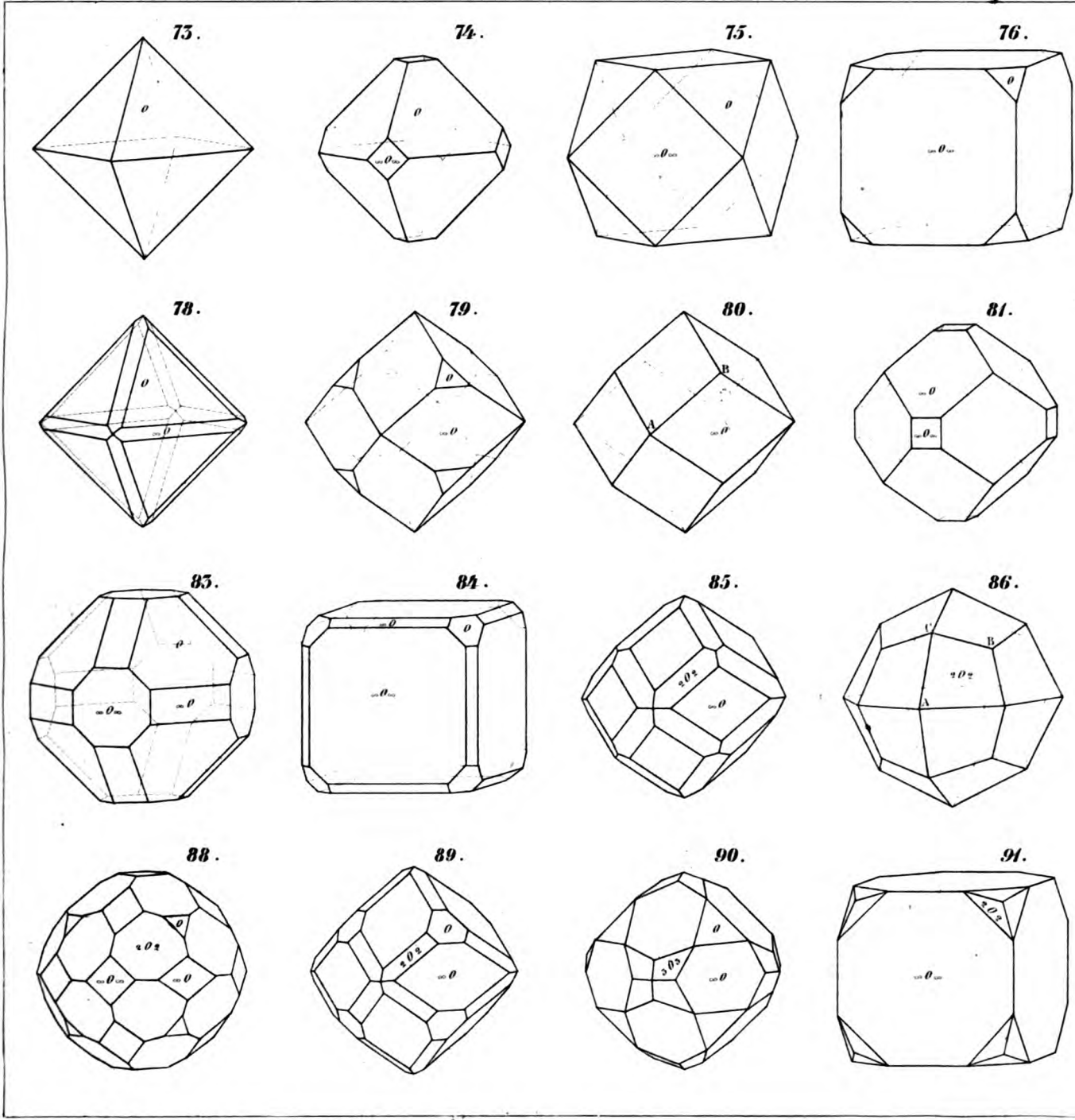
70.



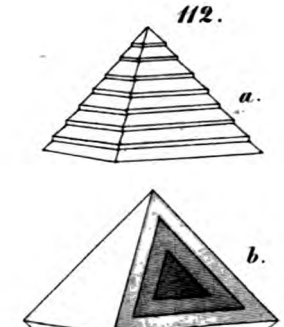
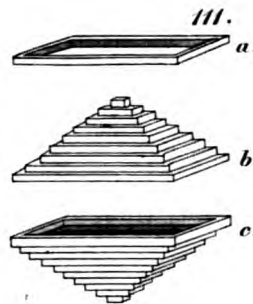
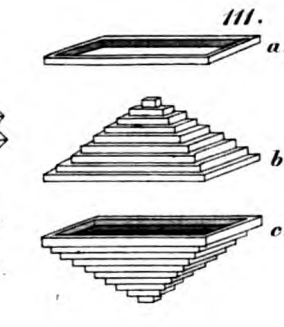
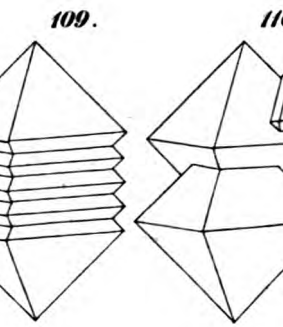
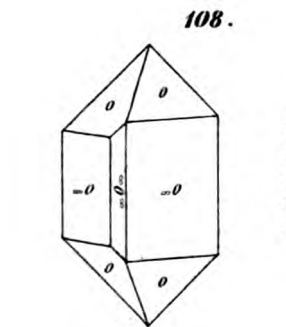
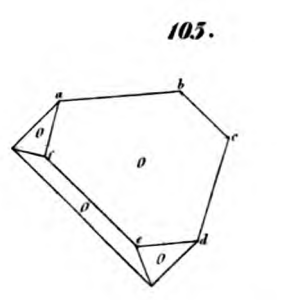
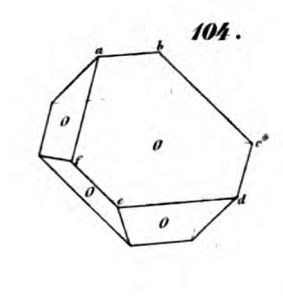
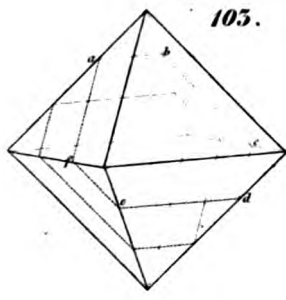
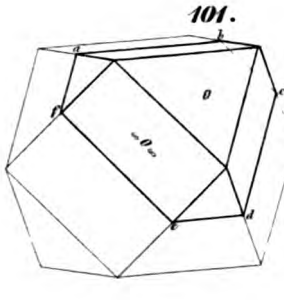
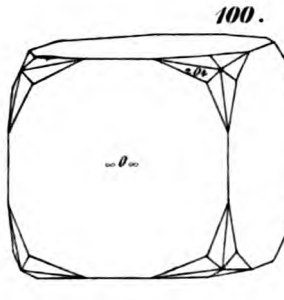
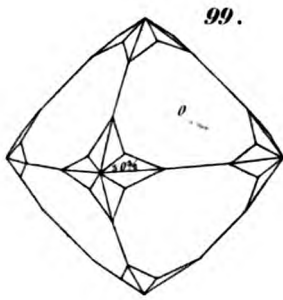
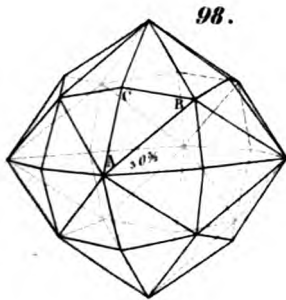
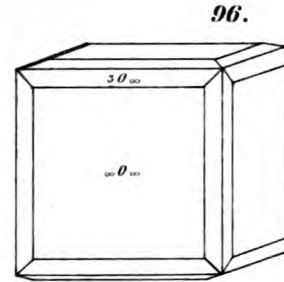
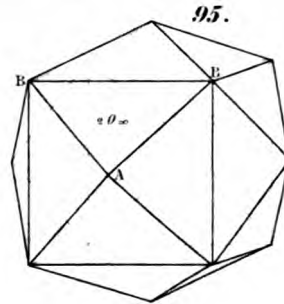
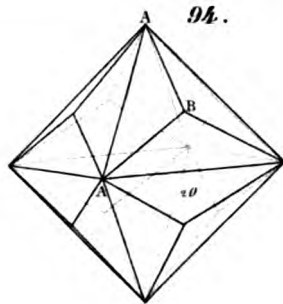
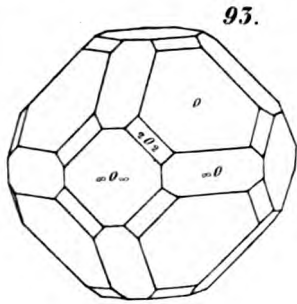
71.





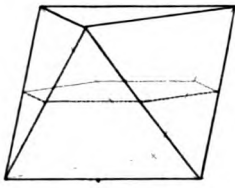




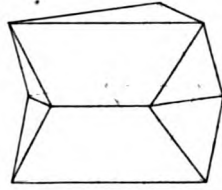




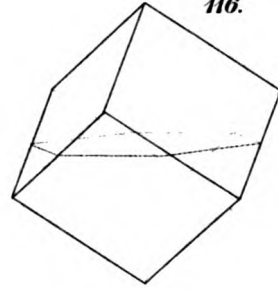
114.



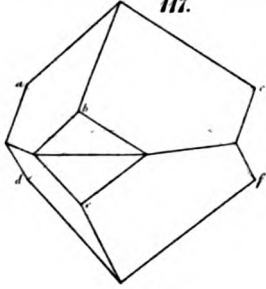
115.



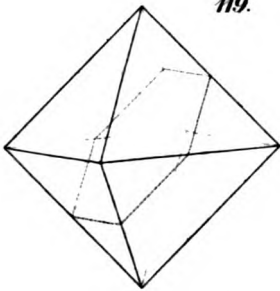
116.



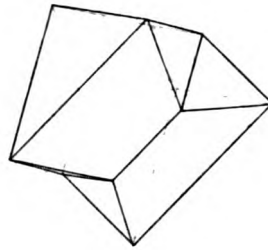
117.



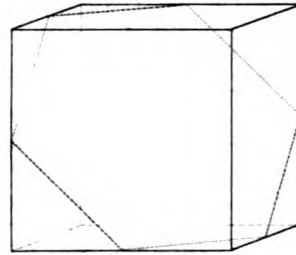
119.



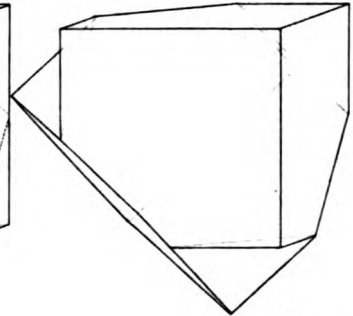
120.



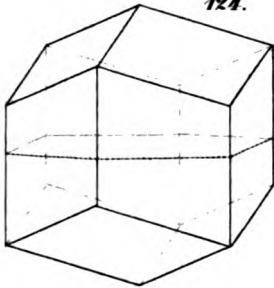
121.



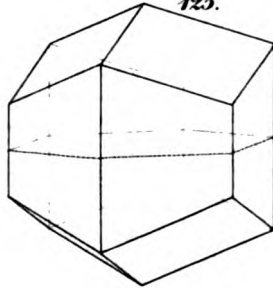
122.



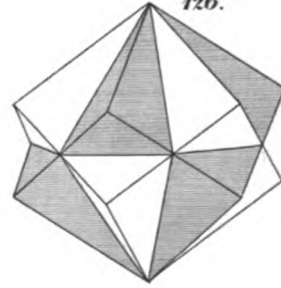
124.



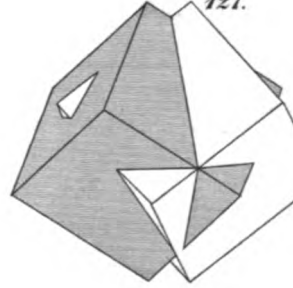
125.



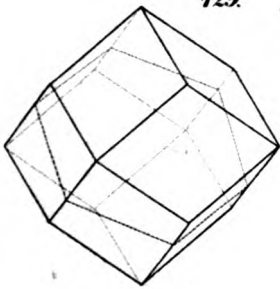
126.



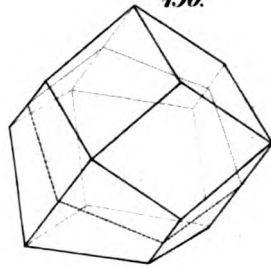
127.



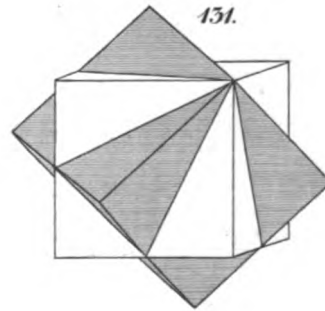
129.



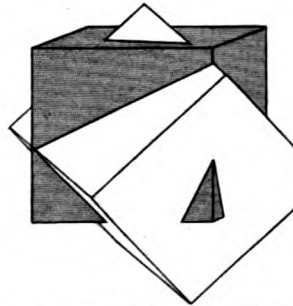
130.



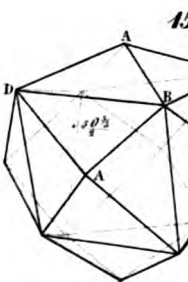
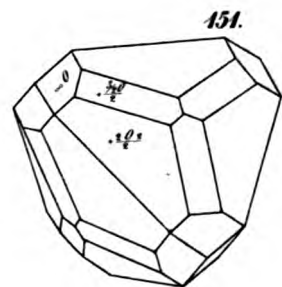
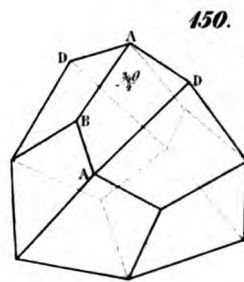
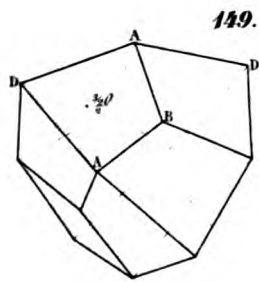
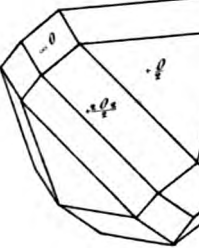
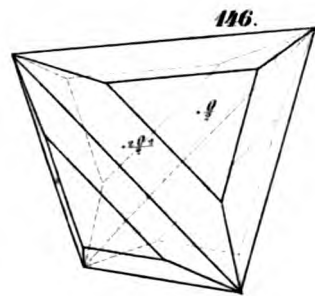
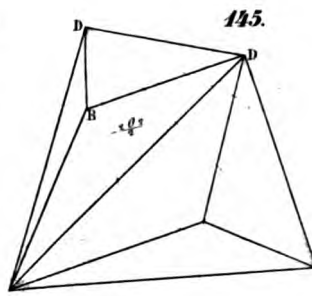
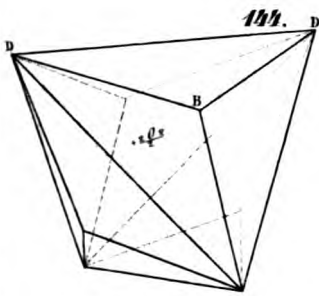
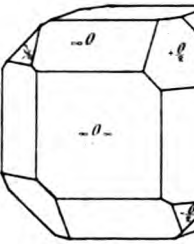
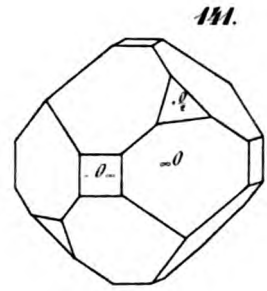
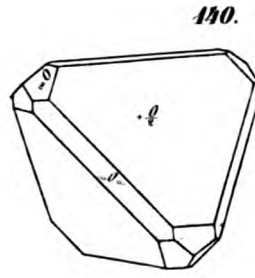
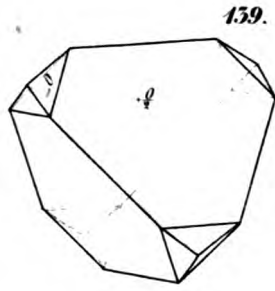
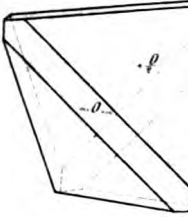
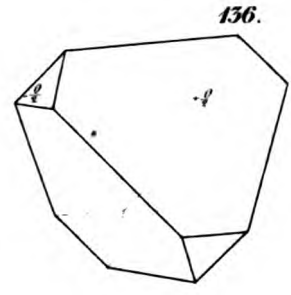
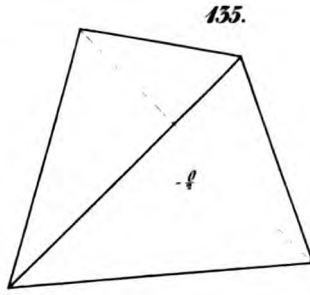
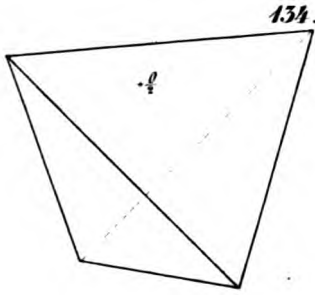
131.



132.

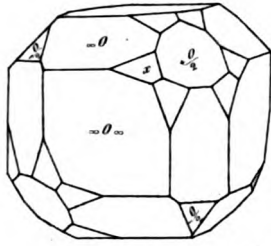




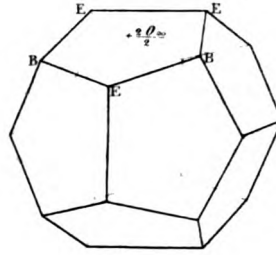




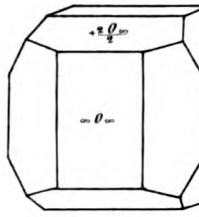
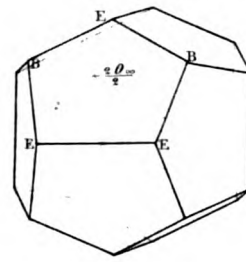
154.



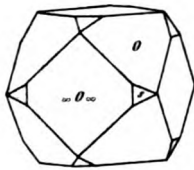
155.



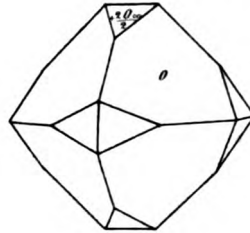
156.



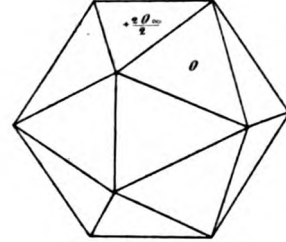
159.



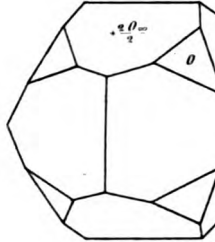
160.



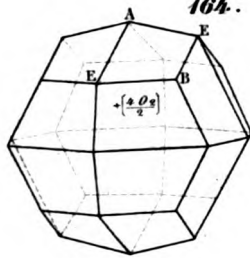
161.



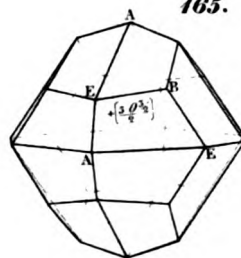
162.



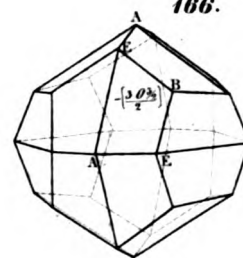
164.



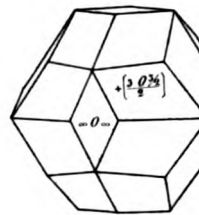
165.



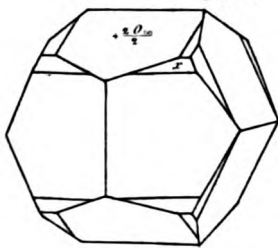
166.



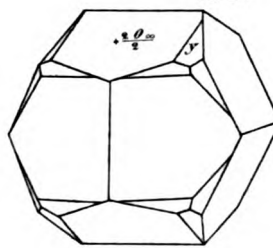
167.



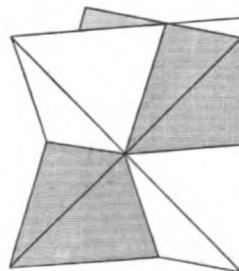
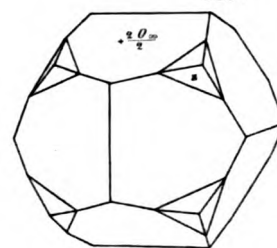
169.



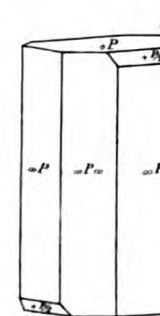
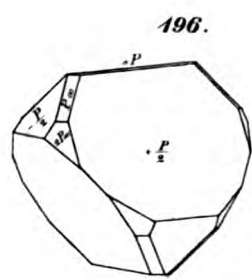
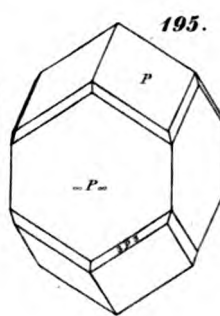
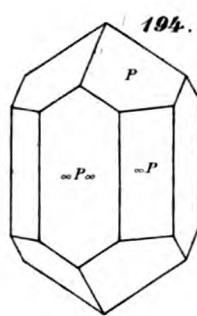
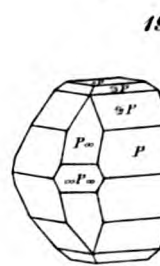
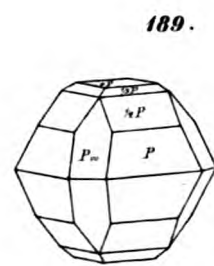
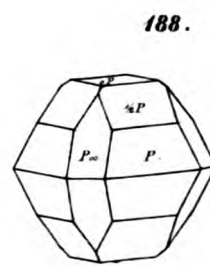
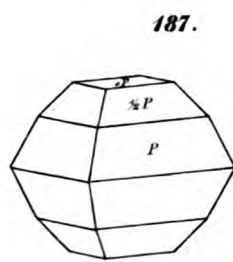
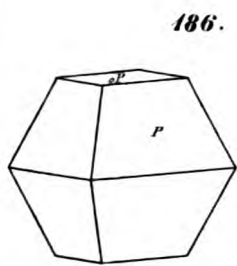
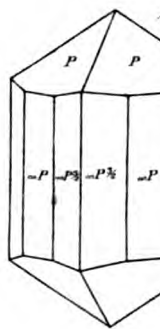
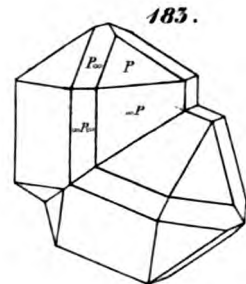
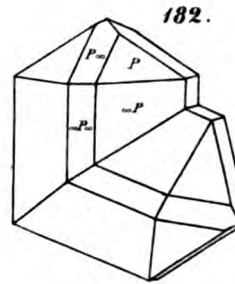
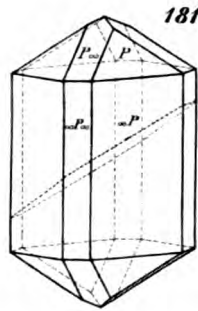
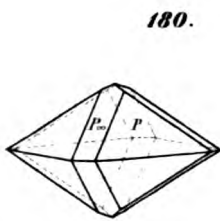
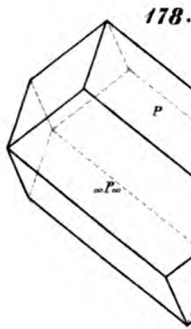
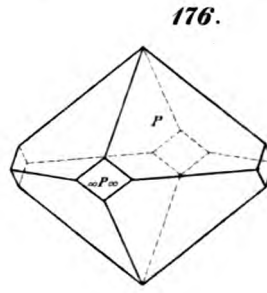
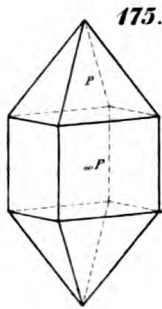
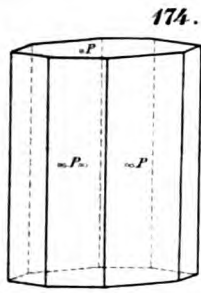
170.



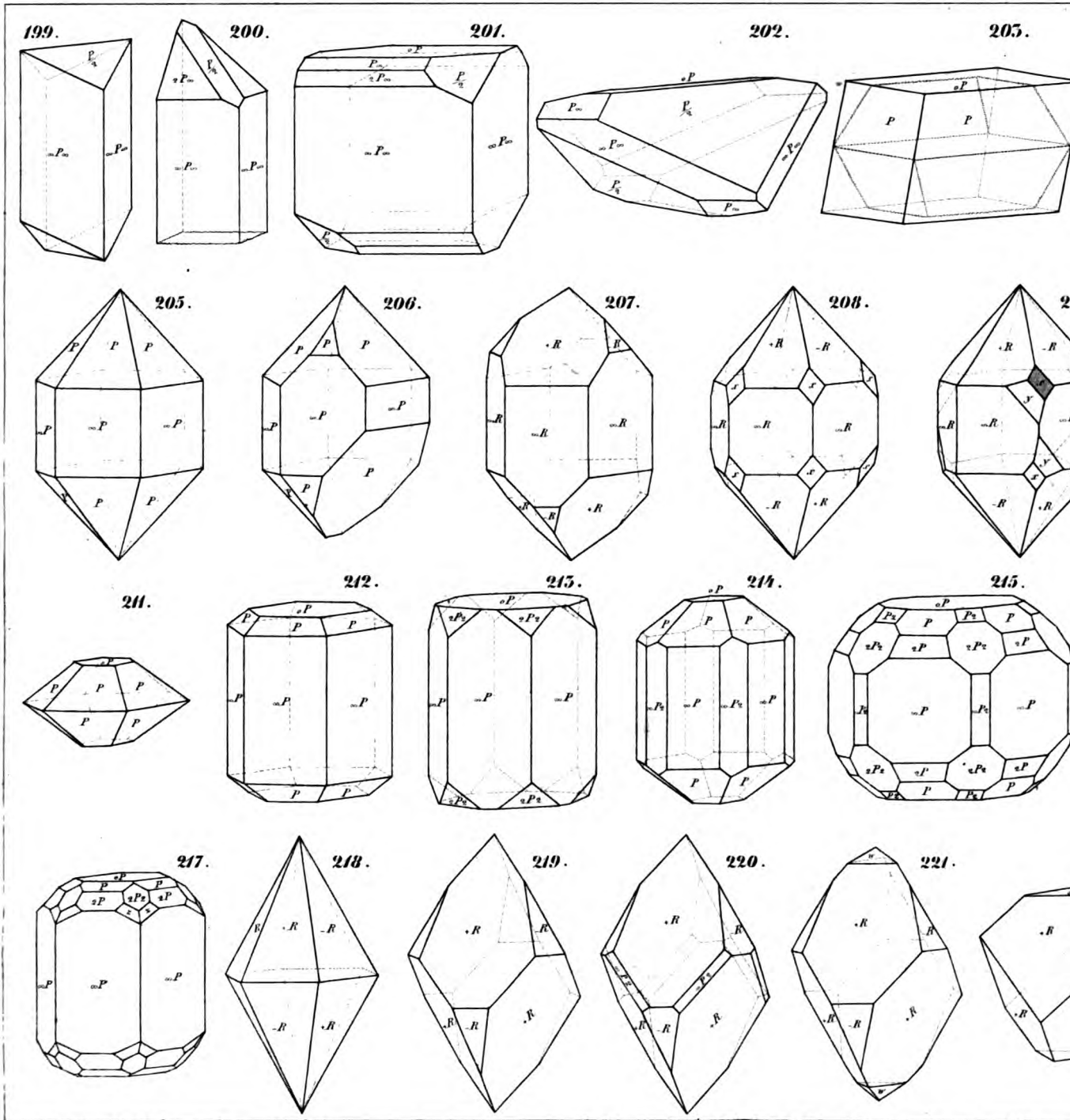
171.



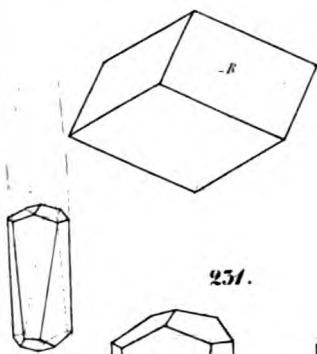








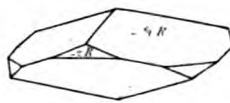
224.



225.



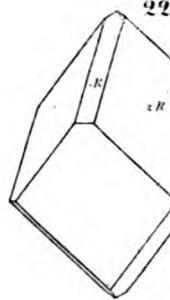
226.



227.

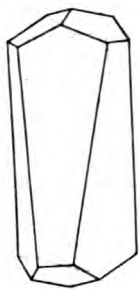


228.

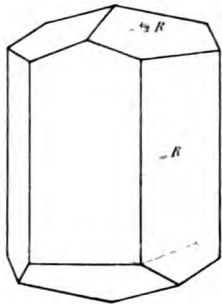


229.

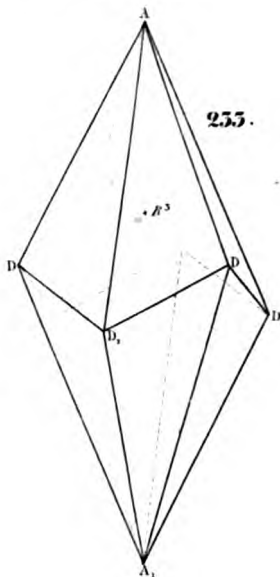
231.



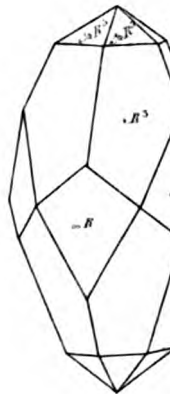
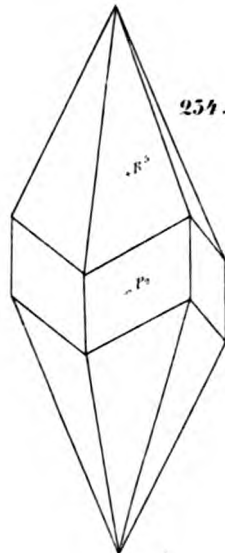
232.



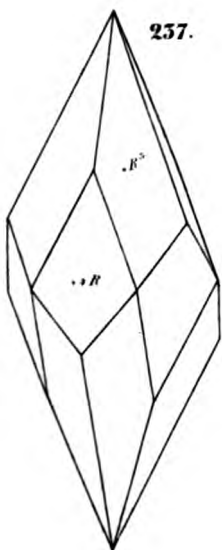
233.



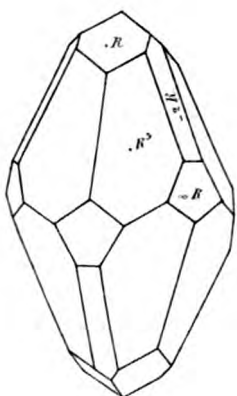
234.



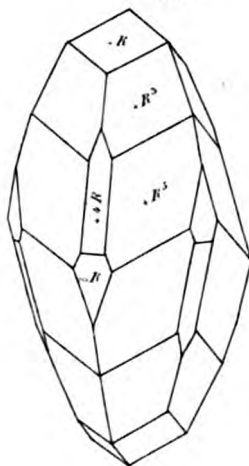
237.



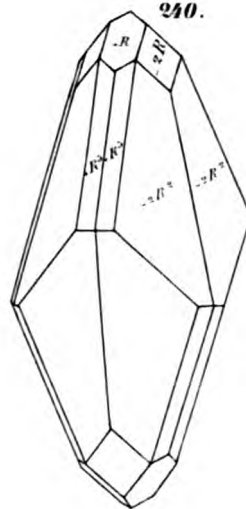
238.



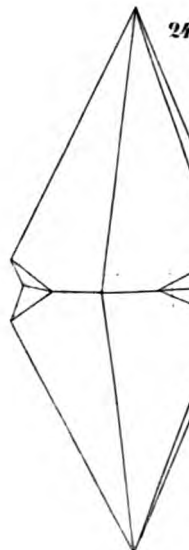
239.

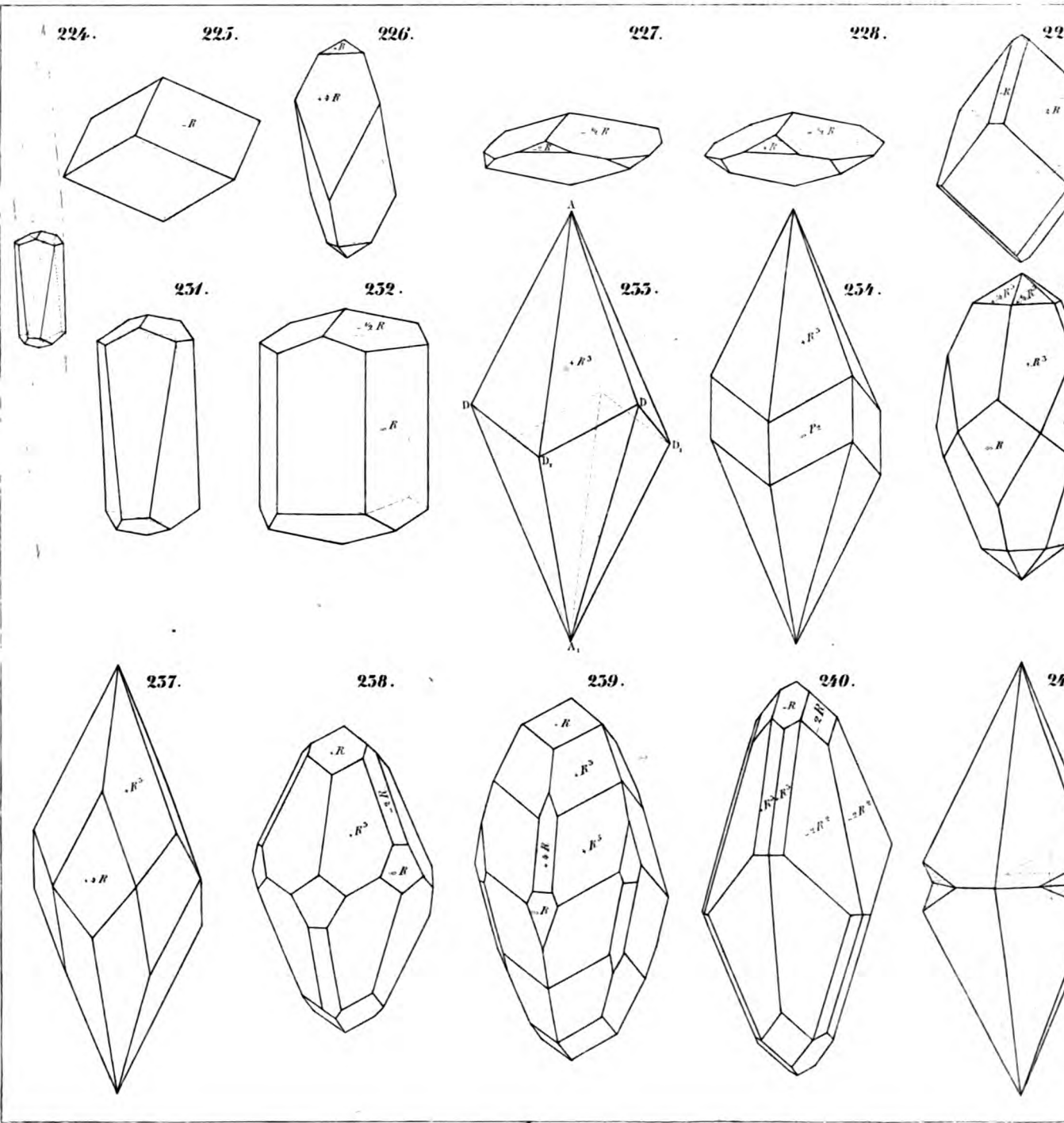


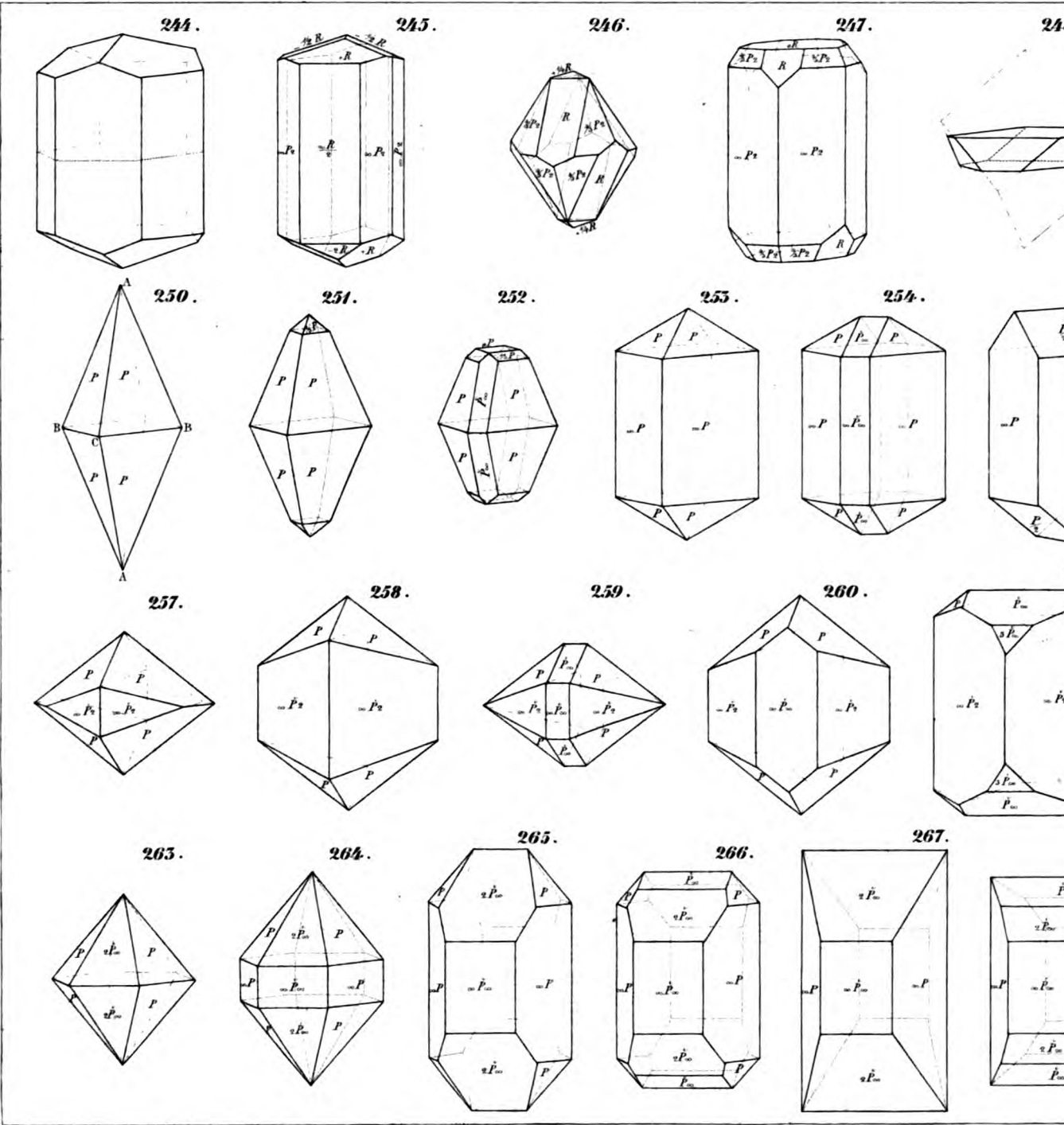
240.

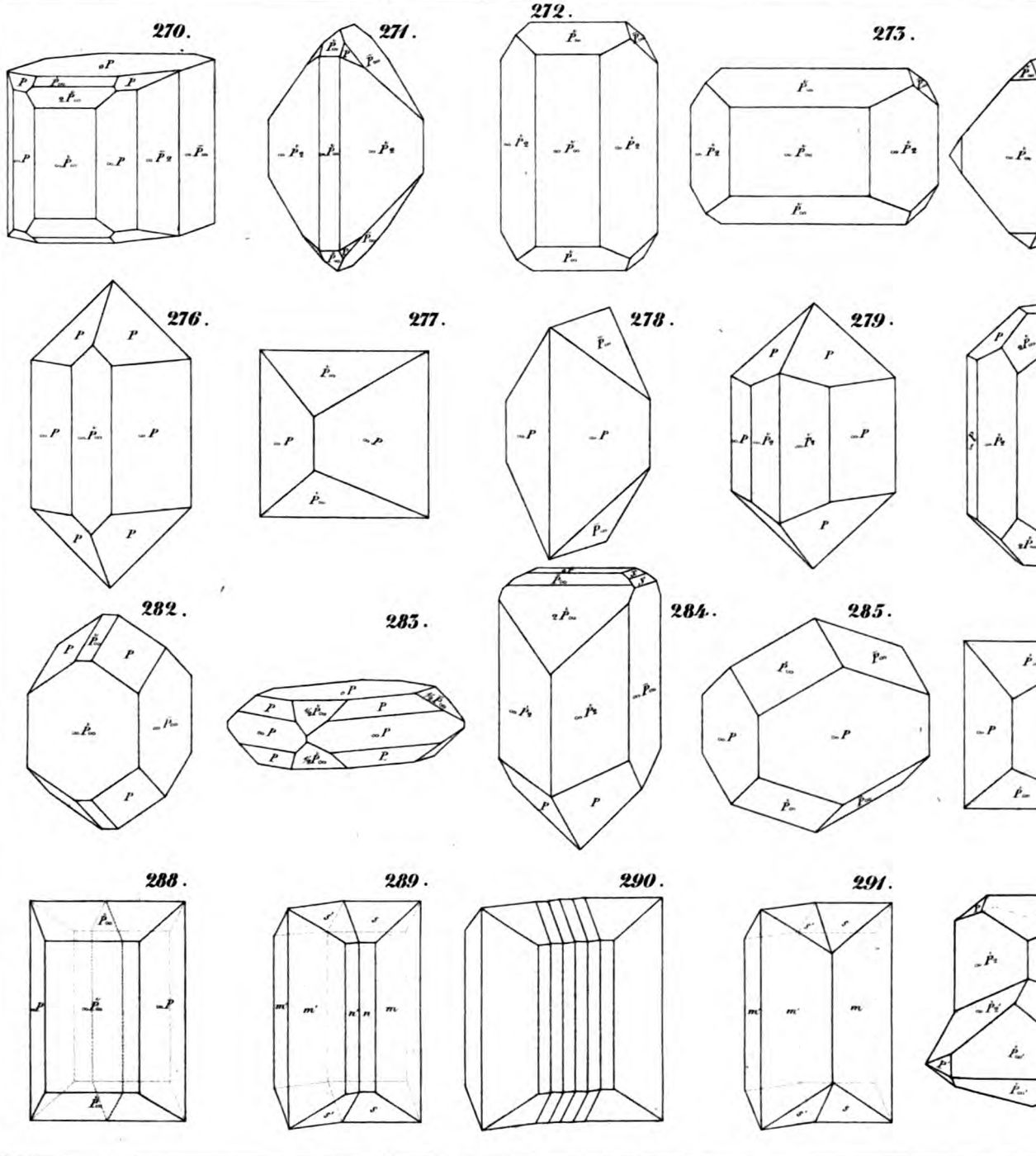


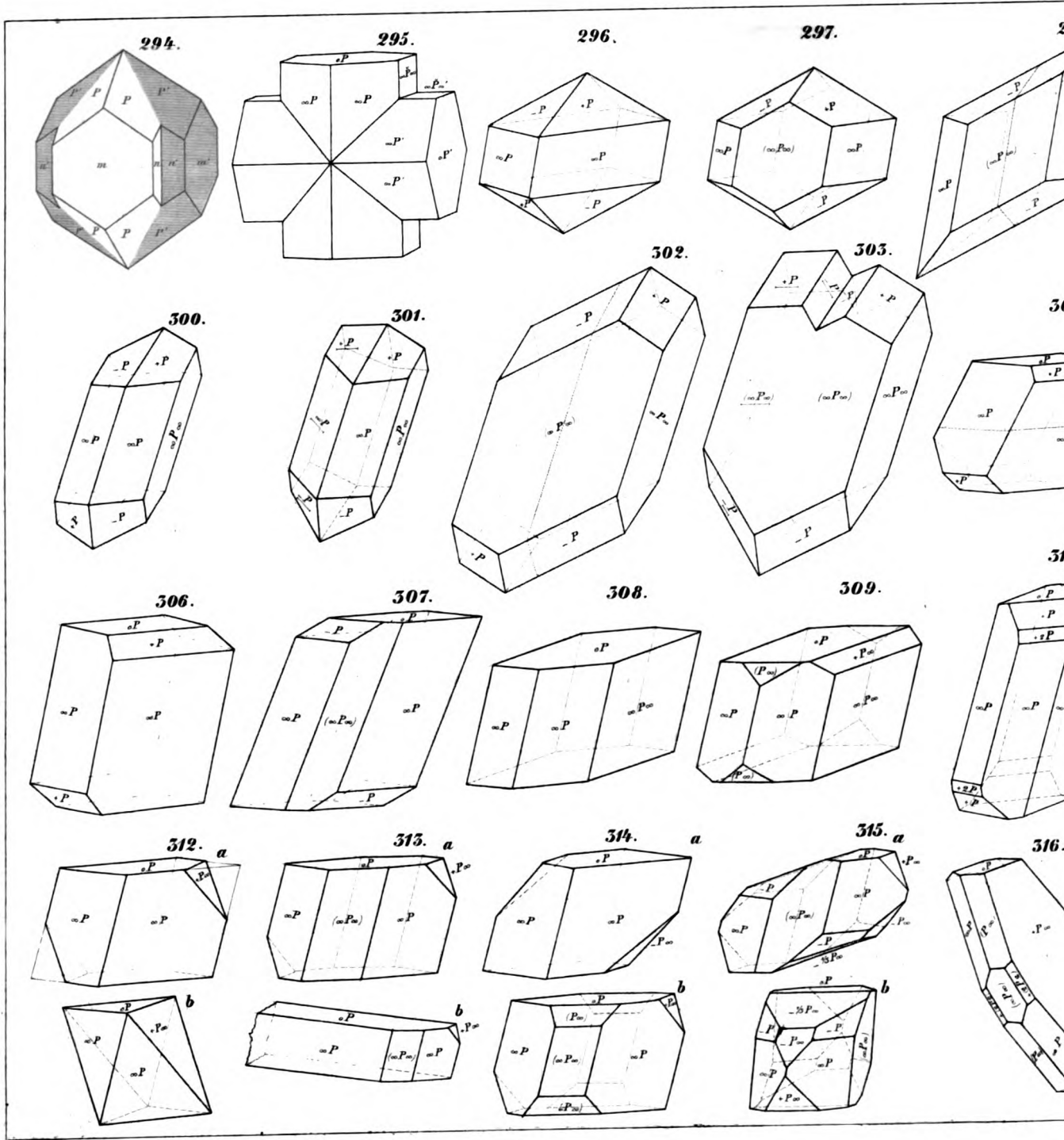
241.

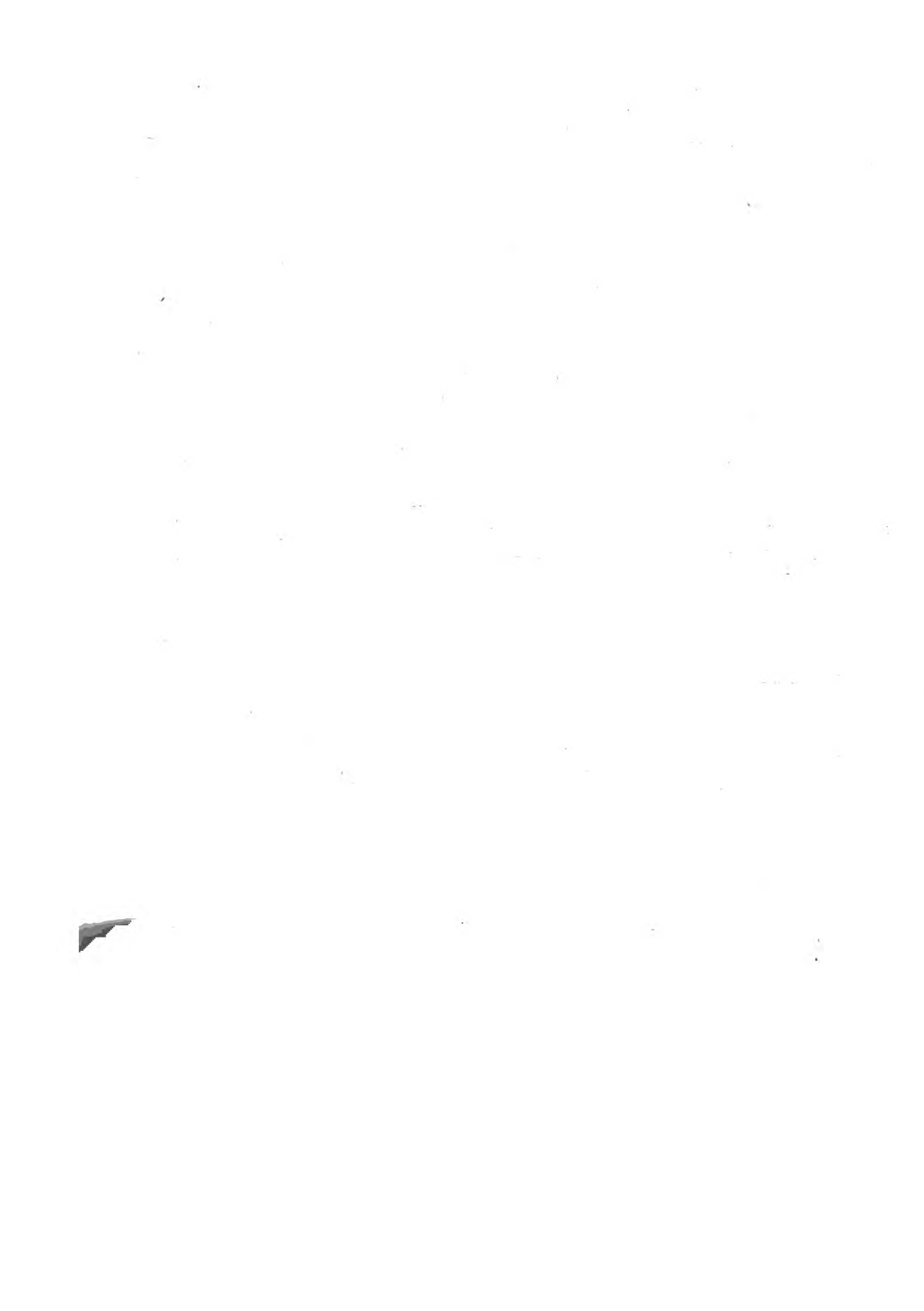


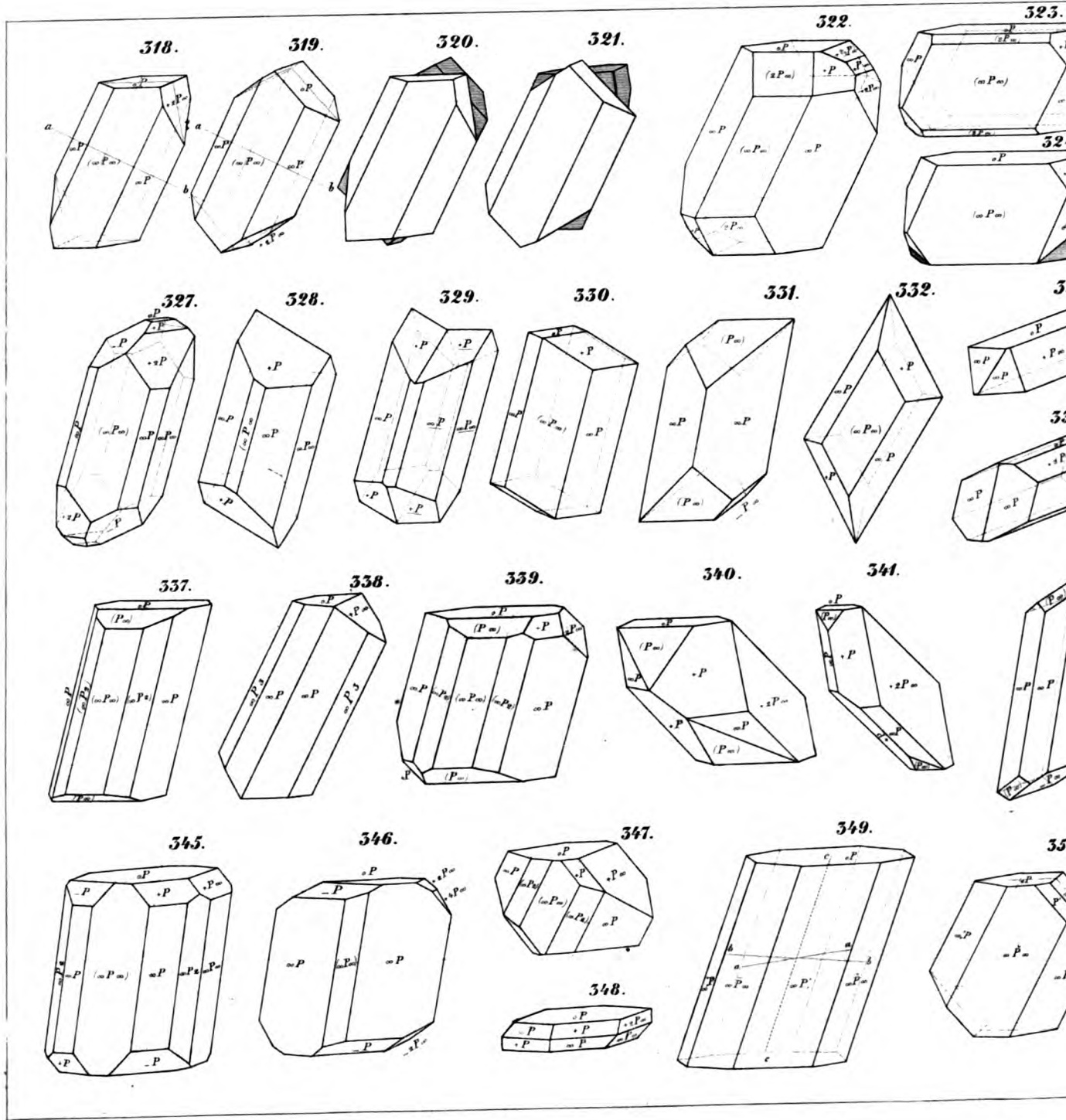




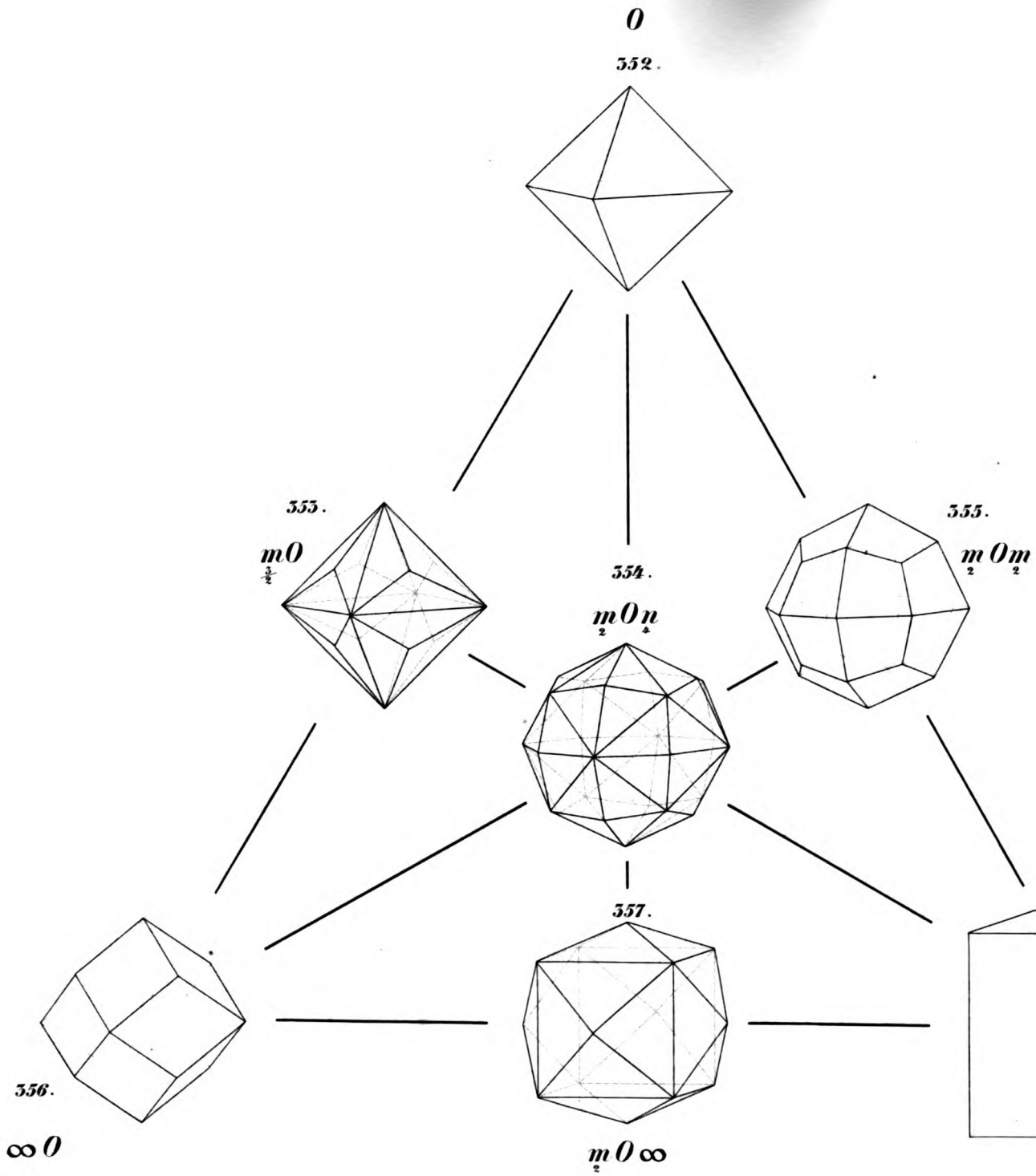





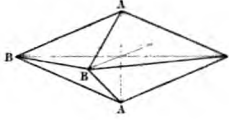
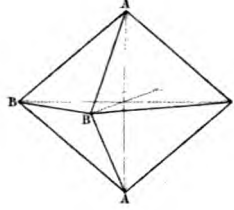
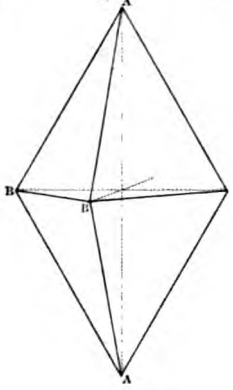

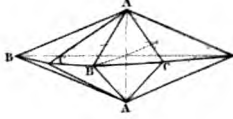
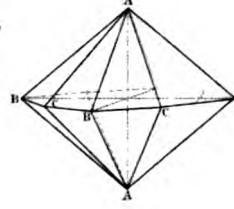
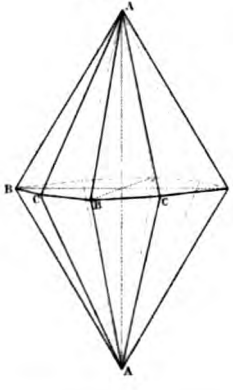
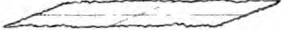
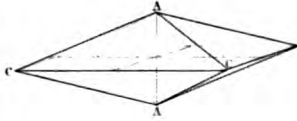
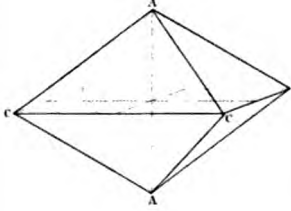
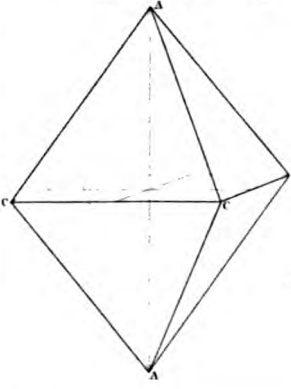




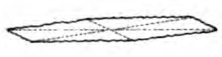
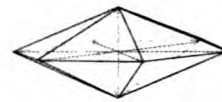
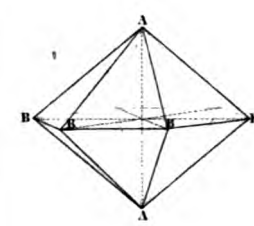
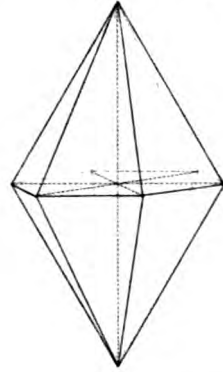

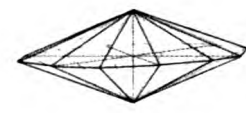
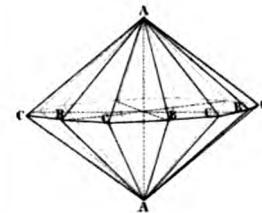
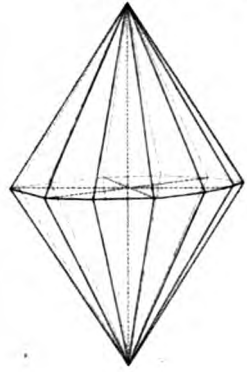

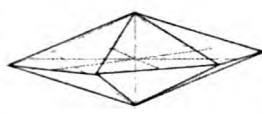
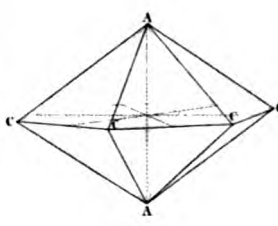
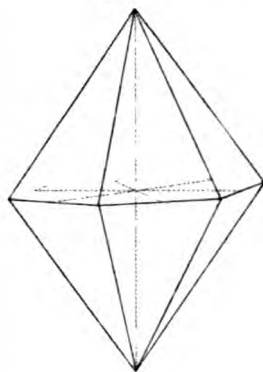




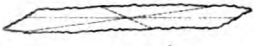

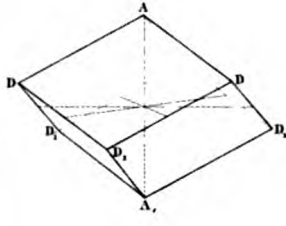
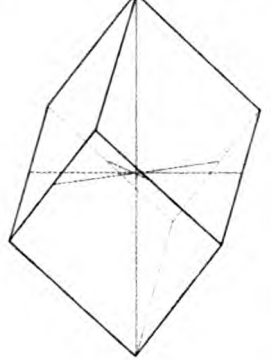

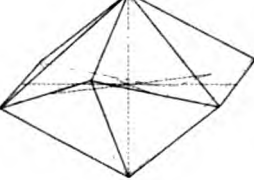
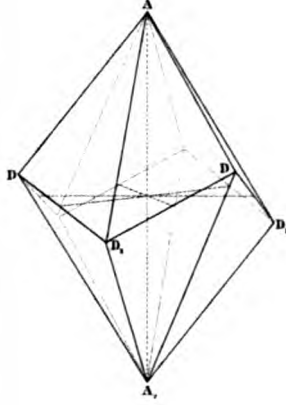
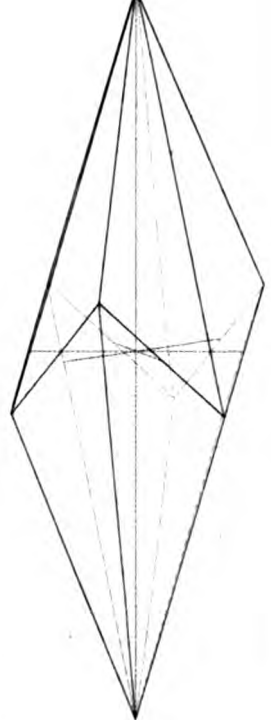


<p>oP 359.</p> 	<p>$m < 1$ mP $\frac{1}{2}$ 360.</p> 	<p>P 361. 362.</p>  <p>$c = 0.85$.</p>	<p>mP $(m > 1)$</p> 
<p>$oPn = oP$ 364.</p> 	<p>mPn 365.</p> 	<p>Pn $\frac{3}{2}$ 366.</p> 	<p>mPn 367.</p> 
<p>$oP\infty = oP$ 369.</p> 	<p>$mP\infty$ 370.</p> 	<p>$P\infty$ 371.</p> 	<p>$mP\infty$ 372.</p> 


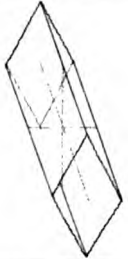
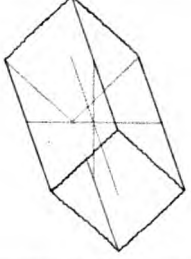
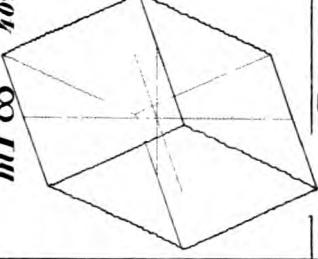
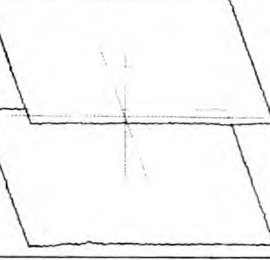

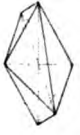
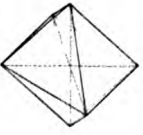
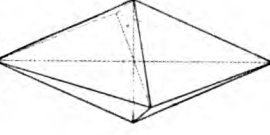
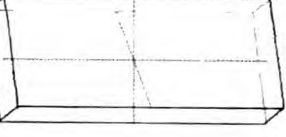


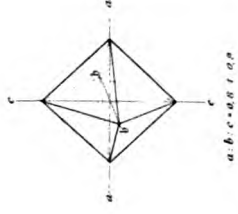
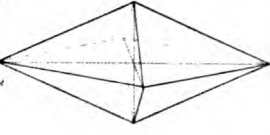
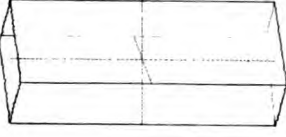



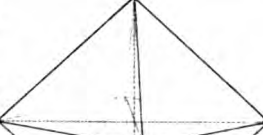
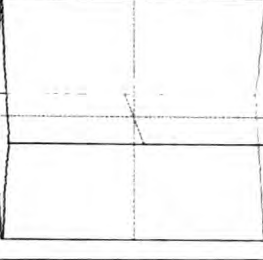


<p>oP 374. $m < 1$</p> 	<p>mP $\frac{1}{2}$ 375.</p> 	<p>P 376, 377.</p>  <p>$c = 0.65$</p>	<p>mP ($m >$</p> 
<p>$oPn = oP$ 379.</p> 	<p>mPn 380.</p> 	<p>Pn $\frac{1}{2}$ 381.</p> 	<p>mPn 382.</p> 
<p>$oP_2 = oP$ 384.</p> 	<p>mP_2 385.</p> 	<p>P_2 386.</p> 	<p>mP_2 387.</p> 

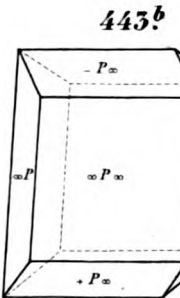
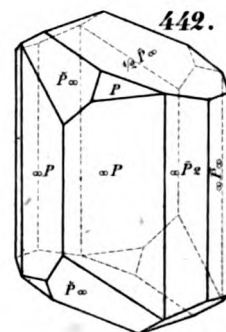
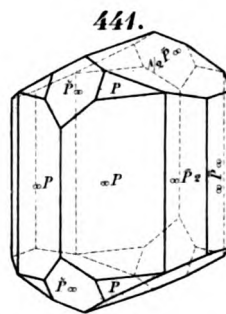
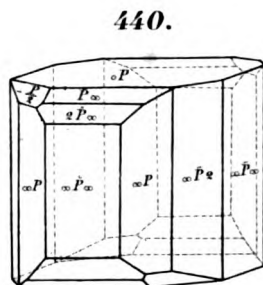
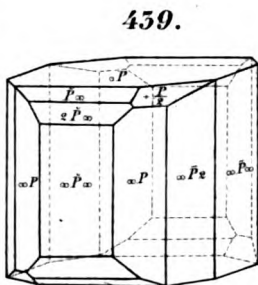
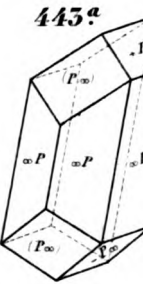
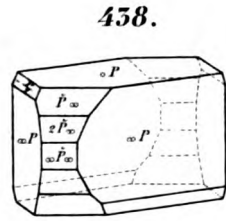
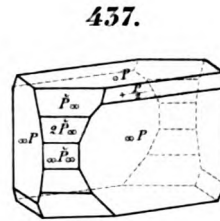
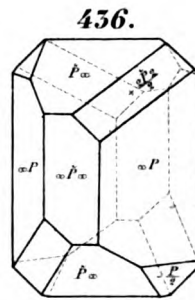
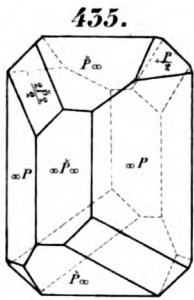
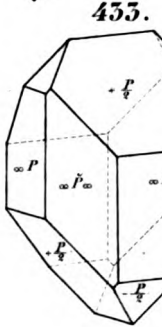
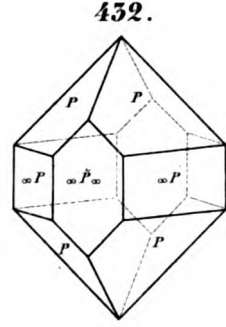
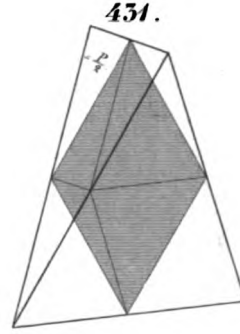
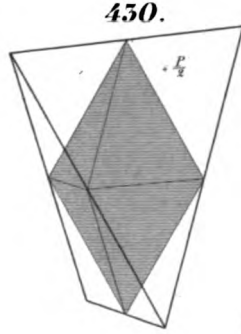
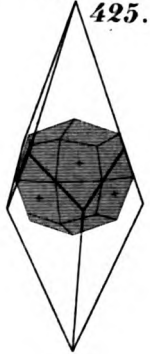
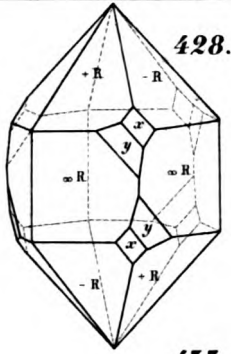
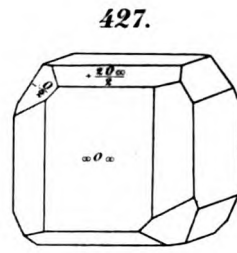
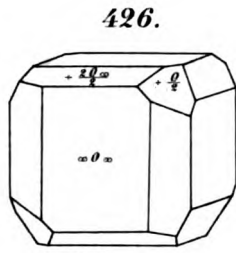
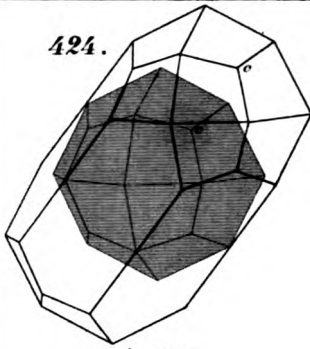


<p>oR 389.</p> 	<p>$m < 1) \pm mR$ 390.</p> 	<p>$\pm R$ 391.</p>  <p>$c = 0.85$</p>	<p>392. $\pm mR$ ($m >$</p> 
<p>$oR^n \cong oR$ 394.</p> 	<p>$\pm mR^n$ 395.</p> 	<p>$\pm R^n$ 396.</p> 	<p>$\pm mR^n$ 397.</p> 



$o\bar{P}\infty = oP$ 399. 	$m\bar{P}\infty$ 400. 	$\bar{P}\infty$ 401. 	$m\bar{P}\infty$ 402. 	$\infty\bar{P}\infty$ 403. 
$o\bar{P}n = oP$ 404. 	$m\bar{P}n$ 405. 	$\bar{P}\frac{n}{2}$ 406. 	$m\bar{P}n$ 407. 	$\infty\bar{P}n$ 408. 
oP 409. 	mP 410. 	P 411. 	mP (m > 1) 412. 	∞P 413. 
$o\bar{P}n = oP$ 414. 	$m\bar{P}n$ 415. 	$\bar{P}\frac{n}{2}$ 416. 	$m\bar{P}n$ 417. 	$\infty\bar{P}n$ 418. 







VII T A F E L N

MIT

NETZEN ZU KRYSTALLMODELLEN

ZU DER

EINLEITUNG IN DIE KRYSTALLOGR

UND IN DIE

KRYSTALLOGRAPHISCHE KENNTNISS DER WICHTIGEREN SUBS

V O N

HERMANN KOPP.

ZWEITE AUFLAGE.

BRAUNSCHWEIG,

DRUCK UND VERLAG VON FRIEDRICH VIEWEG UND SOHN.

1 8 6 2.

Die Herausgabe einer Uebersetzung in französischer und englischer Sprache,
sowie in anderen modernen Sprachen wird vorbehalten.

ÜBERSICHT DER MODELLE.

Reguläres System.

- Tafel I. 1) O ; Fig. 73 (§. 60).
 2) $\infty O \infty$; Fig. 77 (§. 62).
 3) $\infty O \infty . O$; Fig. 76 (§. 63).
 4) $\infty O \infty . O$ im Gleichgewicht; Fig. 75 (§. 63).
 5) $O . \infty O \infty$; Fig. 74 (§. 63).
 6) ∞O ; Fig. 80 (§. 66).
- Tafel II. 7) $\infty O . O$; Fig. 79 (§. 67).
 8) $\infty O \infty . \infty O$; Fig. 82 (§. 67).
 9) $2 O 2$; Fig. 86 (§. 70).
 10) $2 O$; Fig. 94 (§. 74).
 11) $2 O \infty$; Fig. 95 (§. 77).
 12) $3 O \frac{3}{2}$; Fig. 98 (§. 80).
 13) $\frac{O}{2}$; Fig. 134 oder 135 (§. 102).
 14) $\frac{2 O 2}{2}$; Fig. 144 oder 145 (§. 106).
 15) $\frac{\frac{3}{2} O}{2}$; Fig. 149 oder 150 (§. 109).
- Tafel III. 16) $\frac{5 O \frac{5}{3}}{2}$; Fig. 152 oder 153 (§. 111 und 112).
 17) $\frac{2 O \infty}{2}$; Fig. 155 oder 156 (§. 114 und 115).
 18) $\infty O \infty . \frac{2 O \infty}{2}$; Fig. 157 (§. 116).
 19) $\left[\frac{3 O \frac{3}{2}}{2} \right]$; Fig. 165 oder 166 (§. 118).

Quadratisches System

- 20) P ; Fig. 361 (§. 138).
 21) P ; ähnlich Fig. 362 (§. 138).
 (Hinsichtlich beider vergl. auch §.
 22) $P . P \infty$ oder $P . 2 P \infty$; ähnlich Fig. 179 ohne
 oben und unten (§. 147).
 23) $P . \infty P$; ähnlich Fig. 175 (§. 149).
 24) $P . \infty P \infty$; ähnlich Fig. 192 (§. 150).
 25) $\infty P \infty . O P . P$; ähnlich Fig. 193 (§. 152).
 26) $P \frac{3}{2}$, bezogen auf Modell 20 als P ; Fig. 366 (§.

Hexagonales System.

- 27) P ; ähnlich Fig. 376 oder 377 (§. 186).
 28) $P . \infty P$; Fig. 205 (§. 193).
 29) $P \frac{3}{2}$, bezogen auf Modell 27 als P ; ähnlich Fig.
 30) R ; Fig. 391 (§. 202, 204, 209).
 31) $-\frac{1}{2} R$, bezogen auf Modell 30 als R ; Fig. 39
 32) $-2 R$, bezogen auf Modell 30 als R ; Fig. 392
 33) $-\frac{1}{2} R . \infty R$, bezogen auf Modell 30 als R ; F
 34) $R . \infty P 2$, bezogen auf Modell 30 als R ; ähnlich
 35) R^3 , bezogen auf Modell 30 als R ; Fig. 233 (§.

Rhombisches System.

- 36) P ; Fig. 250 (§. 249).
 37) $P . \check{P} \infty$; ähnlich Fig. 252 ohne OP und $\frac{1}{3} P$ (§.
 38) $P . \infty P$; ähnlich Fig. 253 (§. 259, 264).

- 39) $P. \infty P. \infty \check{P} \infty$; ähnlich Fig. 276 (§. 264).
 40) $P. \infty P. \infty P2$; Fig. 279 (§. 266).
 41) $P. \infty \check{P}2$; ähnlich Fig. 258 (§. 260).
 42) $\infty P. \bar{P} \infty . \check{P} \infty$ (§. 269).
 43) $\infty P. \frac{P}{2}$; ähnlich Fig. 255 (§. 279).
 44) $\infty P. \check{P} \infty . \infty \check{P} \infty$; Fig. 288 (§. 264, 268, 282).

Monoklinometrisches System.

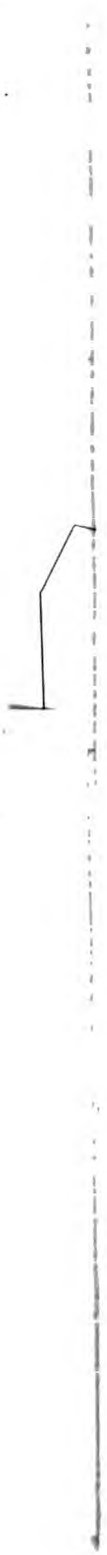
- 45) $+ P. - P$; ähnlich Fig. 62 (§. 304).
 46) $+ P. - P. \infty P$, bezogen auf Modell 45 als P ; ähnlich Fig. 296 (§. 311).
 47) $+ P. \infty P$, bezogen auf Modell 45 als P (§. 317).
 Tafel VI. 48) $+ P. \infty P. [\infty P \infty]$, bezogen auf Modell 45 als P ; ähnlich Fig. 332 (§. 312, 317).

- 49) $\infty P. 0P$, bezogen auf Modell 45 als
 50) $\infty P. 0P. - P$, bezogen auf Modell
 (ohne $[\infty P \infty]$) (§. 316).
 51) $[\infty P \infty]. \infty P \infty . 0P$, bezogen auf M
 (§. 315).
 52) $\infty P. 0P$; ähnlich Fig. 63 (§. 311).
 53) $\infty P. 0P. \infty P \infty$; ähnlich Fig. 308 (§.

Triklinometrisch

- 54) $\infty P. 8P'. 0P$ (§. 364).
 55) $\{P'\}$; Fig. 65 (§. 362).
 56) $\{P'\} . \infty \{P'\} . \infty \check{P} \infty . \infty \bar{P} \infty$; Fig. 66
 57) $P' . \infty \{P'\} . \infty \check{P} \infty . \infty \bar{P} \infty$; Fig. 67 (§.











1



